

NOVENSIA 33

NOVENSIA 33

Studia i materiały
pod redakcją naukową

Piotra Dyczka

NOVENSIA 33



Ośrodek Badań nad Antykiem
Europy Południowo-Wschodniej

Projekt okładki / Cover design
Anna Adamczyk & Janusz Reclaw
Opracowanie graficzne / Graphic design
Anna Adamczyk

Redaktor naczelny / Chief editor
Piotr Dyczek

Komitet redakcyjny / Editorial board
Tat'ána Egorova
Evgeniâ Genčeva
Rebecca Jones
Florian Matei-Popescu
Oliva Menozzi
Ewdoksja Papuci-Władyka
Luan Përzhita
Joaquín Ruiz de Arbulo Bayona
Andreas Thiel

Sekretarz redakcji / Editorial secretary
Bartosz Wojciechowski

Niniejszy numer zawiera artykuły w wersji pierwotnej / Volume contains original articles.

© Publication under the Creative Commons Attribution 3.0 PL (CC BY 3.0 PL) license
(full text available at: <http://creativecommons.org/licenses/by/3.0/pl/legalcode>).

Numer finansowany z programu „Inicjatywa Doskonałości — Uczelnia Badawcza”
Uniwersytetu Warszawskiego oraz programu „Rozwój Czasopism Naukowych”
Ministerstwa Nauki i Szkolnictwa Wyższego.

Ośrodek Badań nad Antykiem Europy
Południowo-Wschodniej
00–927 Warszawa
ul. Krakowskie Przedmieście 32
novae@uw.edu.pl

Warszawa 2023

ISSN 0860-5777
e-ISSN 2720-2941

Wydanie I
Druk: Hussar Books

SPIS TREŚCI / CONTENTS

ZOFIA KACZMAREK

- Centers of Romanness. The collegia in Virunum and their role in integrating the population of the provinces 7

KAROLINA TRUSZ

- Fish and fishing in the daily life of the inhabitants of the Southern Coast of Anatolia 35

MATEUSZ ŻMUDZIŃSKI

- A possible branch of the Silk Road in the Roman Danube provinces 45

С. М. ИЛЬЯШЕНКО, М. МАТЕРА, П. ЛЕХ

- Исследования в Западном городском районе Танаиса в 2018–2019 гг. (раскоп XXV) 57

VADZIM BELÂVEC, KATARZYNA CZARNECKA

- First find of an imported Roman key from the territory of Belarus 123

KRZYSZTOF NARLOCH

- Bronze nails from Risan (Montenegro) 133

Oświadczenie o etyce wydawniczej i niewłaściwych praktykach 177

Informacje i wskazówki dla autorów 178

Publication ethics and malpractice statement 183

Guidelines for authors 184

С. М. Ильяшенко
М. Матера
П. Лех

ИССЛЕДОВАНИЯ В ЗАПАДНОМ ГОРОДСКОМ РАЙОНЕ ТАНАИСА В 2018–2019 ГГ. (РАСКОП XXV)

Abstract: The paper presents the results of two excavation seasons carried out in 2018–2019 by the Polish-Russian expedition to Tanais on the remains of the fortification system of western Tanais, as well as the urban architecture of this part of the city.

Key words: Tanais, Greek colony, fortifications, Hellenistic period, Roman period, housing

В 2018–2019 гг. отряд Института археологии Варшавского университета в составе Археологической экспедиции Музея-заповедника „Танаис” продолжал исследования на территории Западного городского района Танаиса. Здесь в 1999 г. был заложен раскоп XXV. Работы на этом участке проводились в рамках совместного российско-польского проекта.¹ К концу сезона 2019 г. общая открытая площадь на раскопе XXV [рис. 1] составляла свыше 1300 кв. м.²

Исследования 2018–2019 гг. были сосредоточены в южной части раскопа – в районе, так называемого, вала и на территории оборонительного рва. На валу, продолжались исследования архитектурного комплекса помещений С, С1, С2 и F расположенного в квадратах 113–114 и 119–120. Во рву продолжались работы над исследованием слоев его заполнения и расположенных на этой территории объектов. В сезоне 2019 гг. в районе оборонительного рва были разбиты новые квадраты 32–33.

¹ Работа выполнена в рамках гранта Национального Центра Науки (National Science Centre, Poland) 2016/21/B/HS3/03423. Текст статьи подготовлен к печати до 24 февраля 2022 г.

² Информации о предыдущих сезонах исследований и полученных результатах: ARSENIĘWA, SCHOLL 2000, с. 13–16; ARSENIĘWA, SCHOLL 2001, с. 17–19; ARSENIĘWA, SCHOLL 2002, с. 13–20; АРСЕНЬЕВА, ШОЛЛЬ 2003, с. 91–98; SCHOLL 2004, с. 239–245; SCHOLL 2005a, с. 137–145; SCHOLL 2005b, с. 247–259; АРСЕНЬЕВА, ШОЛЛЬ 2006, с. 59–84; АРСЕНЬЕВА, ШОЛЛЬ, МАТЕРА 2006, с. 85–91; ШОЛЛЬ 2008a, с. 307–338; ШОЛЛЬ 2008b, с. 177–189; SCHOLL 2009, с. 167–173; АРСЕНЬЕВА и др. 2011a, с. 69–85; АРСЕНЬЕВА и др. 2011b, с. 87–106; SCHOLL 2011a, с. 203–204; SCHOLL 2011b, с. 58–60; SCHOLL 2011c, с. 299–303; АРСЕНЬЕВА, ШОЛЛЬ 2012, с. 7–94; АРСЕНЬЕВА

и др. 2012a, с. 41–44; АРСЕНЬЕВА и др. 2012b, с. 45–54; SCHOLL 2012, с. 215–218; ШОЛЛЬ 2012, с. 11–16; ШОЛЛЬ, МАТЕРА 2012, с. 482–488; ШОЛЛЬ, РОВИНСЬКА 2013, с. 48–62; NAUMENKO, SCHOLL 2014, с. 187–201; SCHOLL 2014, с. 202–206, 212–216; АРСЕНЬЕВА и др. 2016, с. 123–180; Ильяшенко и др. 2018, с. 103–177; МАТЕРА 2018, с. 300–306; МАТЕРА, LECH, SROCZYŃSKA 2018a, с. 365–371; МАТЕРА, LECH, SROCZYŃSKA 2018b, с. 373–380; МАТЕРА 2019, с. 12–30; МАТЕРА 2020, с. 70–78; МАТЕРА, SCHOLL 2020, с. 435–448; МАТЕРА 2021, с. 45–58; МАТЕРА 2021, с. 447–455.

Оборонительный ров, квадраты 26, 28–29 и 30–33

В сезонах 2015–2017 г. работы в квадратах 26–27 и 30–31 были доведены до материка. У западной границы квадрата 30 он находился на уровне от -4,16 до -4,71 м, а у восточной границы квадрата 27 – на уровне -5,09 м. На уровне материка фиксировались пятна нескольких объектов, которые из-за отсутствия времени в предыдущих сезонах не исследовались. Их исследования были проведены в сезоне 2018 г.

В квадрате 26 была доследована одна из ям – яма 11/2016, обнаруженная на этом участке еще в сезоне 2016 г. Яма 11/2016 в своей юго-восточной части прорезала более раннюю яму 9/2016, исследованную в сезоне 2017 г., которая также прорезала еще более ранний объект – яму 3/2016 [рис. 2–3]. Яма 11/2016 принадлежала к комплексу эллинистических хозяйственных ям, расположенных в районе западного склона оборонительного рва. Этот комплекс был обнаружен в квадратах 26–27 и 30–31 в сезонах 2016–2017 г. [рис. 4–5].³

Работы в квадратах 30–31 начались на территории расположенной вдоль их южного борта с разборки участка стены 26, открытого в сезоне 2017 г. и доследования слоя IX, который перекрывал стену 28.

Стена 28 расположена в ЮЗ части квадрата 31, в 0,60 м к востоку от его западной границы. Открытый в сезоне 2018 г. участок этой стены плохой сохранности. Сохранился лишь один ряд кладки восточного фаса [рис. 6–7]. Стена была ориентирована по линии ССВ–ЮЮЗ. Длина прослеженной части стены – 2,35 м. Южная её часть уходит под южный борт квадрата. Максимальная высота сохраненного участка стены 28 достигает 0,22 м. Изначально стена 28, вероятно, являлась двуллицевой, трехслойной, сложенной на глинистом растворе конструкцией из довольно больших камней с забутовкой внутренней части из более мелких. Она перекрывала нижележащие объекты, условно обозначены как «объект 1» и «объект 2». Предположительно стена 28 являлась более ранней фазой системы укрепления западного склона оборонительного рва, которую составляла открытая в сезонах 2016–2017 гг. стена 26.

Возможно с системой укрепления западного склона оборонительного рва связаны также четыре продолговатых ровика, расположенных к северо-востоку от стены 28 [рис. 4–5]. Их функциональная интерпретация затруднительна. Однако учитывая то, что все они вырыты в материковой глине и ведут вниз от западного склона оборонительного рва на восток, их возможно считать элементами дренажной системы, отводящей дождевую воду от конструкции стены укрепляющей западный склон рва. В связи с этим каждый из ровиков получили условное название «дренаж».

Дренаж 1 [рис. 4–5, 8] является самым северным из группы 4 объектов. Он расположен в 1,50 м к югу от северной границы квадрата 31 и на расстоянии 1,25 м к востоку от западной границы этого квадрата. В плане дренаж 1 прямоугольной продолговатой формы, ориентированный длинной осью по линии В–З. В разрезе он также подпрямоугольный с покатыми стенками. Длина дренажа – 2,75 м; ширина – от 0,20 до 0,28 м; глубина – до 0,20 м.

Дренаж 2 [рис. 4–5, 8] находился к югу от дренажа 1, параллельно ему, на расстоянии 0,10 м (от западного края дренажа 1) и 0,20 м (от восточного края дренажа 1). В плане дренаж 2 также продолговатой формы, в разрезе подпрямоугольный с покатыми стенками. Так же как дренаж 1 он ориентирован по линии В–З. Длина дренажа 2 – 2,80 м; ширина – от 0,16 м до 0,20 м; глубина – до 0,20 м.

³Ильяшенко и др. 2018, с. 108–111.

Дренаж 3 [рис. 4–5, 9] располагался в центре квадрата 32, на расстоянии 0,10 м к юго-западу от дренажа 2. В плане он подпрямоугольной формы со скругленной западной стенкой, ориентирован длинной осью по линии ЮЮВ–ССЗ. В разрезе – подпрямоугольный с покатыми стенками. Длина дренажа 3 – 0,30 м; ширина – 0,16 м; глубина – 0,10 м.

Дренаж 4 [рис. 4–5, 9] располагался в южной половине квадрата 31, на расстоянии 0,20 м к юго-западу от дренажа 3. В плане и в разрезе он подпрямоугольной формы, ориентирован длинной осью по линии ЮЮВ–ССЗ. Длина дренажа 4 – 1,00 м; ширина – 0,20 м; глубина от 0,40 до 0,10 м.

Как упоминалось выше стена 28 перекрывала два объекта в виде продольных, вырубленных в скале углублений разделенных скальной полкой [рис. 10]. Они условно обозначены как «объект 1» (восточный) и «объект 2» (западный). Оба ориентированы по линии С–Ю. Они входили в южный борт квадратов 30–31. В плане объекты вытянутой подпрямоугольной формы. Их короткие стенки и углы скругленные. В разрезе они подпрямоугольной, нерегулярной формы.

Объект 1 расположена на границе квадратов 30 и 31. Его западная стенка располагалась в 0,20 м к западу от восточной границы квадрата 30, восточная – в 0,50 м к востоку от западной границы квадрата 31. Объект 1 вырублен с уровня -5,27 м. Его ширина 0,70 м (у южного борта квадрата) и 0,50 м у его северной стенки. Раскрыта длина по линии С–Ю – около 1,10 м. Дно объекта находилось на уровне около -5,68 м. В южной части объекта 1 на уровне от -5,51 до -5,68 м находились в анатомическом порядке человеческие кости [рис. 11]. Скелет не полный. Отсутствовали кости левой руки, кисти рук и часть позвонков. Судя по остаткам, костяк взрослого человека располагался на левом боку по линии СЗ–ЮВ. Череп слегка смещен к северу и лежал на костях основания, лицевой частью к северу. Правая рука согнута в локте под острым углом и, вероятно, была подведена кистью к подбородку. Ноги согнуты в коленях под острыми углами, коленями на СЗ. Бедренные кости сдвинуты к северу. Костяк располагался поверх тонкого слоя перекрывающего дно объекта. В этом слое были обнаружены 3 стенки синопских амфор, 3 стенки амфор неопределенных центров производства, а также по одному фрагменту стенок лепного и сероглиняного сосуда. В его нижней части, при зачистке дна объекта обнаружено довольно большое количество рыбьих костей.

Объект 2 расположен к западу от объекта 1 и отделен от него скальной полкой шириной от 0,40 м (у южного борта квадратов) до 0,70 м (у северного края). Он, также как объект 1, вырублен в скале с уровня -5,27 м. Ширина объекта 2 0,65–0,70 м, раскрыта длина – около 1,04 м. Дно объекта находилось на уровне около -5,86 м. В слое заполнения объекта 2 на уровне от -5,62 до -5,69 м [рис. 12] находился развал краснолакового кувшина боспорского производства (№ 167/2018) [рис. 13].⁴

По всей видимости, оба объекта являются грабленными погребениями. Такую интерпретацию могут подтверждать так присутствие человеческих костей в заполнении объекта 1 как и наличие почти полностью сохраненного краснолакового кувшина в заполнении объекта 2. Отметим также, что в верхней части объекта 2 зафиксировано смещенную каменную плиту [рис. 11], которая могла являться частью оригинального перекрытия вырубленной в скале погребальной ямы.

Заполнением так объекта 1 как и объекта 2 являлись четыре слоя разные по цвету и структуре. Среди обнаруженного в них материала отметим клейменную ручку родоской амфоры (№ 147/2018) [рис. 14], терочник из ручки родоской амфор (№ 72/2018), сохра-

⁴ О боспорской сигиллате см.: Домжалъски, Журавлев 2003.

нившийся почти полностью миниатюрный лепной сосуд (№ 144/2018) [рис. 15], фрагмент мегарской чаши (№ 146/2018) [рис. 16], глиняное пряслице (№ 40/2018), красноглиняный боспорский светильник типа «кувшинчика» варианта 3.1⁵ (№ 58/2018) [рис. 17], терочник из фрагмента дна красноглиняного сосуда (№ 73/2018), каменное грузило дисковидной формы (№ 74/2018) и каменное ядро (№ 149/2018).

Кроме выше описанных объектов в квадратах 30–31 исследовались также вырыты в материковой глине хозяйственные ямы 1/2018, 2/2018, 3/2018, 4/2018, 5/2018, 6/2018, 7/2018 и 9/2018 [рис. 4–5]. Все они датируются эллинистическим временем и вероятно существовали еще до сооружения оборонительного рва.

Кроме комплекса хозяйственных ям в квадрате 30 исследовалось также погребение 1/2018.

Погребение 1/2018

На уровне материка в центральной части квадрата 30 было зафиксировано пятно небольшой погребальной ямы. Оно прослеживалось с уровня -4,14 м. На этом уровне были уже видны вериткально стоящие стенки амфоры, использованной для погребения тела младенца. Она располагалась в 2,30 м к северу от южной границы квадрата 30 и 2,50 м к западу от его восточной границы [рис. 4]. Тулово без горла южнопонтийской оранжевоглиняной амфоры (№ 56/2018) [рис. 18] лежало на боку по линии ЮЗ–СВ, устьем к ЮЗ. Внутри амфоры в скорченной позе на правом боку лежал костяк погребенного младенца, головой на ЮЗ [рис. 19–20]. Кости плохой сохранности. Череп младенца находился на уровне около -4,17 м, плечевые кости на уровне -4,17/-4,18 м, поясничный отдел позвоночника -4,19 м, таз – -4,19/-4,20 м, бедренные кости – -4,20 м, большеберцовые кости – -4,19 м. Инвентарь отсутствовал. Погребальная яма имела в плане овальную форму. Ориентирована длинной осью по линии ЮЗ–СВ. Размеры ямы 0,60 х 0,32 м. В разрезе яма усеченно конусовидная. Прослежена на глубину 0,12 м. По типу амфоры погребение возможно датировать концом I–II вв. н.э.

В сезонах 2018–2019 гг. продолжались работы в квадратах 26–29, где исследовались слои заполнения оборонительного рва. Исследования в этой части раскопа ведутся с 2013 г. В 2018–2019 гг. они сосредоточены в квадратах 28–29. Так на восточном (квадрат 29) как и на западном (квадраты 26–27) склоне оборонительного рва исследования были доведены до материка. В центральной части рва, в квадрате 28 исследования остановились на уровне -6,39 м. В результате исследований проведенных в квадратах 26–29 в сезонах 2013–2019 гг. получена представительная стратиграфическая колонка заполнения оборонительного рва [рис. 21].

Верхний горизонт (**слой I**) в квадратах 26–29 был исследован в 2013 г. Это современный, рыхлый, неоднородный, перемешанный слой от светло- до темно-серого цвета, с небольшим количеством мелких камней, включениями мелкозернистого известняка, керамикой и костями животных. В слое вместе с современным мусором обнаружено большое количество керамики от эллинистического до раннесредневекового времени.

Слой II исследовался в 2015–2016 гг. Это рыхлый, пылевидный темно-коричневого цвета с небольшим количеством мелких камней и включениями мелкозернистого известняка. Он залегал горизонтально на всей поверхности квадратов 26–29. В восточной части квадрата 29 этот слой перекрывал конструкцию каменного панциря вала, зафиксированного и в квадрате 118.⁶ В слое встречены пятна золы со скоплениями костей животных и керамики. Слой местами прорезан перекопами XIX в.

⁵ Журавлев, Быковская, Желтикова 2010, с. 53–76.

⁶ Ильяшенко и др. 2018, с. 120–121.

Следующий **слой III** был исследован в 2016 г. Это неоднородный плотный слой с включениями мелкозернистого известняка и большим числом мелких и средних камней. Местами в слое встречались небольшой мощности пятна светло-серого и темно-серого, рыхлого пепла. Слой имел цвет от светло-коричневого до светло-серого. Среди керамики, обнаруженной в этом слое, преобладал материал первых веков нашей эры. Он составлял 72,1% от общего числа находок.

Нижележащие слои IV, V и VI исследовались в 2016 г. (в квадратах 26–27) и в 2018 г. (в квадратах 28–29).

Слой IV прослеживался только в западной части квадрата 27 и в квадрате 26. Слой неоднородный, рыхлый, темно-серого цвета с небольшим количеством мелких и средних камней, керамикой и костями животных. Среди находок в слое на долю керамики эллинистического времени приходилось 9,8%, находки римского времени составляли 69,1%, позднеантичного периода 3,0%. Остальная часть материала – неопределимые типологически и хронологически фрагменты керамических стенок.

Слой IVa зафиксирован в южном профиле квадратов 29 и 118. Это судя по всему заполнение позднего перекопа, который начинался с уровня около -3,00 м и прорезал слой V. По цвету и структуре слой IV трудно отличимый от слоя V и по этой причине во время исследований он не прослеживался в плане. Это неоднородный, довольно плотный слой серо-коричневатого цвета с большим количеством мелких и средних камней. Вероятно, позднеантичный материал, обнаруженный при исследовании слоя V, относится к заполнению вышеупомянутого перекопа. Максимальная толщина слоя 0,90 м.

Нижележащий **слой V** неоднородный, плотный, с большим количеством мелких камней, керамикой и костями животных. Местами в слое встречались небольшой мощности пятна желто-коричневого суглинка и темно-серой золы. Слой от серо-коричневого до светло-серого цвета. В слое встречались разрозненные человеческие кости. Среди керамики, обнаруженной в этом слое, преобладает материал первых веков нашей эры. Он составляет 76,7% от общего числа находок. Наиболее многочисленной группой являлись фрагменты узкогорлых, светлоглиняных амфор гераклейского производства типов С и D по Д.Б. Шелову⁷ (№№ 102/2018, 128–130/2018, 138/2018 и 188/2018) [рис. 22], в том числе – фрагмент горла с английским клеймом (№ 183/2018) [рис. 23] и уникальный пример клейменной ручки (№ 124/128) [рис. 24]. Вместе они составляли 56,1% всего керамического материала. Процентное участие светлоглиняных амфор типа А и В (№ 126/2018) значительно ниже. Оно не достигает 1%. Почти 13% найденного в слое материала составляли фрагменты оранжево- и красноглиняных амфор II–III вв. Количество псевдокосских амфор гераклейского и эгейского производства а также красноглиняных достигает почти 4,5%. Интересной является находка ножки амфоры неизвестного центра производства (№ 139/2018). Столовая керамика немногочисленна и составляет соответственно 3,7% всего материала. В этой группе зафиксированы примеры оранжево- (№ 191/2018) и красноглиняной (№ 132/2018), серолощеной (№№ 166/2018 и 181/2018) [рис. 25] а также коричневоглиняной (№ 182/2018) и краснолаковой посуды (№ 180/2018). Фрагменты амфорной тары эллинистического времени единичны и составляют лишь 0,7% общего числа находок. Среди них преобладают обломки родосских амфор (№ 125/2018), в том числе клейменных (№ 98/2018 и 147/2018). Позднеантичный материал также немногочисленный. На его долю приходится лишь 1,5% всех находок. В этой группе зафиксированы фрагменты амфор типа Е по Д.Б. Шелову

⁷ Здесь и далее при описании узкогорлых светлоглиняных амфор используется классификация Д. Б. Шелова – типы А, В, С, D, E: ШЕЛОВ 1978, с. 17–19, рис. 1–7;

смотри также: ŠELOV 1986, с. 395–398, соответствующие типу С IV, вариантам А, В, С, D по С.Ю. Внукову: ВНУКОВ 2006, с. 16, рис. 1, 7–10.

(№№ 137/2018 и 172/2018) [рис. 26], амфор типа Зеест 100⁸ (№ 127/2018) [рис. 27] и LRA 1⁹ (№ 159/2018). 8,6% всех находок приходится на долю лепной керамики (№№ 133–135/2018, 160–161/2018 и 192–193/2018). Зафиксированы также единичные примеры кружальной кухонной посуды (№ 131/2018). Среди индивидуальных находок отметим: рыболовные грузила (№№ 79/2018 и 164/2018), амфорную пробку (№ 162/2018), изделия из кости (№ 165/2018) [рис. 28] и рога (№ 218/2018), фрагмент носика светильника (№ 163/2018), а также фрагмент амфорной стенки с граффито (№ 189/2018).

Нижележащий **слой VI** довольно однородный, плотный, глинистый темно-коричневого до светло-коричневого цвета с мелкими и средними камнями, керамикой и костями животных. В этом слое, на уровне около -4,20 м, были обнаружены человеческие останки. В массовом керамическом материале происходившим из слоя VI преобладают фрагменты амфор, составляющие 90,5% от общего числа находок. На долю лепной керамики (№№ 199/2018, 61–66/2019) [рис. 29] приходилось 6,85%, а кружальной столовой – лишь 2,65%. При этом резко преобладали материалы первых веков нашей эры составляющие 76,0% от общего числа находок. Доминировали фрагменты узкогорлых светлоглиняных амфор гераклейского производства типов А, В (№№ 198/2018, 53/2019 и 55/2019), С и D по классификации Д.Б. Шелова. Довольно высокое также участие амфор с двустольными ручками. Среди них зафиксированы примеры керамической тары типа Внуков С I¹⁰ (№№ 194/2018, 52/2019, 227/2019 и 229–230/2019) [рис. 30] и фрагменты амфор эгейского производства. В слое найдены также фрагменты псевдокосских красноглиняных амфор. Среди материала обнаруженного в слое VI зафиксированы также фрагменты красно- и оранжевоглиняных амфор (№ 228/2019). Столовая посуда представлена обломками краснолаковых (№№ 196–197/2018) [рис. 31] и серолощенных сосудов (№№ 195/2018 и 58/2019) а также простой гончарной керамики (№№ 57/2019 и 60/2019). Среди эллинистической керамики обнаружены фрагменты амфор родосских (№№ 50–51/2019, 56/2019), в том числе клейменных (№№ 190/2018, 17–18/2019 и 23/2019) [рис. 32] и колхидских. Зафиксированы также примеры вторичного использования фрагментов ручек эллинистических амфор в виде терочников (№№ 30–31/2019). Один фрагмент ручки принадлежал гето-дакской амфоре подражающей производству Родоса. Позднеантичный материал представлен лишь одной амфорной стенкой. В слое обнаружены также: керамические пробки (№№ 25/2019, 91/2019, 172/2019 и 204/2019), каменное ядро (№ 174/2019), грузило из ручки амфоры типа А (№ 54/2019) и костяная проколка (№ 193/2019).

Слой VII это плотный, довольно однородный глинистый слой от темно-серого до серо-коричневого цвета с небольшим числом мелких и средних камней, керамикой и костями животных. В слое встречались золистые прослойки и скопления рыбьих костей и чешуи.

В археологическом материале, происходившим из этого слоя, преобладали фрагменты керамической тары эллинистического времени. Среди них наибольшую группу составляли фрагменты родосских амфор (№№ 75/2019, 80–81/2019, 94/2019, 96–99/2019, 234–238/2019) [рис. 33–34], в том числе клейменных (№№ 45/2019, 199/2019, 224–226/2019, 257/2019, 260/2019) [рис. 35–36]. Отметим также примеры вторичного использования фрагментов родосских амфор в качестве терочников (№№ 37/2019, 44/2019, 79/2019, 92–93/2019, 196/2019, 201/2019, 208/2019, 223/2019, 232/2019, 253/2019) [рис. 37]. Фрагменты керамической

⁸ Здесь и далее при описании этих амфор используется классификация И. Б. Зеест: Зеест 1960, с. 120 и табл. XXXIX, 100а-г. В новейшей литературе чаще используется классификация Д. Кассаба Тезгор: KASSAB TEZGOR 2010, с. 128–129.

⁹ RILEY 1979, с. 212–215.

¹⁰ Здесь и далее при описании этих амфор используется классификация С. Ю. Внукова: характеристика амфор типа С I: Внуков 1988, с. 198–202; Внуков 2000, с. 57 и сл.; Внуков 2003, с. 28 и сл. О хронологии амфор типа С I: Внуков 2006, с. 167 и с. 169, рис. 10.

тары Родоса составляют 44,4% от общего числа находок из слоя VII. Из других производственных центров зафиксированы обломки амфор Синопы, Книда (№№ 82/2019, 109/2019) [рис. 38] и Коса (№ 233/2019) а также амфор колхидских. На их долю приходится соответственно 3,4%, 2,3%, и 1,3%. Процентное участие амфор колхидских не достигает 1% всего обнаруженного в слое материала. Среди фрагментов амфор синопских обнаружена также клейменная ручка (№ 198/2019) [рис. 39]. В группе керамической тары присутствовали также фрагменты позднеэллинистических/раннеримских амфор с двуствольными ручками. Зафиксированы примеры псевдокосской тары гераклейского (типа Внуков С I) и эгейского (№ 239/2019) производства. На их долю приходилось соответственно 3,6% и 0,1% всех находок. Процентное участие красноглиняных амфор с двуствольными ручками также незначительно. Оно достигало лишь 0,3%. 17,1% от всего материала обнаруженного в слое VII составляли фрагменты керамической тары неопределенных производственных центров (№ 95/2019). Фрагменты лепной керамики составляли в слое VII 24,2% всех материалов (№№ 77–78/2019, 84–85/2019, 100–101/2019, 244–249/2019, 254–256/2019, 272–274/2019). Столовая посуда представлена находками фрагментов рыбных блюд, тарелок и кувшинов. Зафиксированы примеры черно- (№ 268/2019) и краснолаковых (№ 270/2019), а также серо- (№№ 76/2019 и 242/2019), красно- и оранжевоглиняных сосудов (№№ 83/2019, 269/2019 и 271/2019). В слое обнаружены также: фрагмент каменного грузила (№ 39/2019), два астрала (№№ 71/2019 и 205/2019), глиняное пряслице биконической формы (№ 47/2019) [рис. 40] и пряслице из стенки сероглиняного сосуда (№ 46/2019), костяная проколка (№ 197/2019) [рис. 41], фрагмент вместилища оранжевоглиняного светильника (№ 267/2019) и каменный терочник (№ 261/2019). Среди индивидуальных находок отметим также четыре других терочника – два из фрагментов кувшинов (№№ 202/2019 и 259/2019), один из фрагмента дна канфара (№ 231/2019) и один из ножки квидской амфоры (№ 40/2019) [рис. 42]. В слое VII обнаружено также два фрагмента керамики датированной римским временем. Одним из них являлось грузило из ручки амфоры типа D (№ 200/2019) по классификации Д. Б. Шелова. Их присутствие объясняется наличием перекопа римского времени в восточной части квадрата 29.

Слой VIII это неоднородный, плотный, глинистый слой от серо-зеленоватого до темно-зеленого цвета с прослойками оранжеватой, материковой глины и единичными мелкими камнями, керамикой и костями животных. Прослойки материковой глины [рис. 43] зафиксированные в слое VIII свидетельствуют, что он образовался двояким путем. С одной стороны это присутствие и действие антропогенного фактора, с другой природный фактор в виде размывания и затекания открытых склонов оборонительного рва.

Похоже как в слое VII в археологическом материале, происходившим из этого слоя, преобладали фрагменты керамической тары. Их участие достигало 66% от общего числа находок. На долю лепной керамики приходилось 32,7%. Столовая посуда представлена немногочисленными находками составляющими лишь 1,3% всего материала из слоя VII. Весь керамический материал, обнаруженный в ходе исследования этого слоя датирован эллинистическим временем. Наибольшую группу (43,9%) составляют фрагменты родосских амфор (№№ 107–108/2019, 124/2019, 209/2019, 243/2019 и 282/2019), в том числе с клеймами (№№ 73–74/2019, 116/2019, 118/2019 и 264–266/2019) [рис. 44–45]. Некоторые из них вторично использованы как терочники (№№ 88/2019, 262–263/2019, 278/2019 и 283/2019). 1,9% всего обнаруженного в слое VIII материала составляли фрагменты амфор синопских (№ 123/2019). В этом слое зафиксированы также обломки стенок квидских, колхидских и косских амфор, составлявшие соответственно 1,9%, 1,1% и 0,6% от общего числа находок. Кроме них, в слое обнаружены и стенки амфор неустановленных центров производства. На их долю приходилось 15,6% всех находок. Лепная керамика представлена фрагментами

разнообразных горшков (№№ 111/2019, 121/2019, 125–128/2019, 194–195/2019 и 286–290/2019) [рис. 46–47]. Находки фрагментов столовой посуды единичны. Среди них примеры красно- и оранжевоглиняных (№№ 110/2019, 119/2019 и 285/2019), красно- и чернолаковых (№№ 120/2019 и 284/2019) [рис. 48–49] сосудов. Из индивидуальных находок отметим подпятник из белого мелкозернистого ракушечника (№ 89/2019), каменный артефакт не вполне ясного предназначения (№ 114/2019), глиняное пряслице округлой формы (№ 115/2019), четыре железных гвоздя (№№ 291/2019 и 293–295/2019), керамический терочник из стенки красноглиняной амфоры (№ 122/2019) и два фрагмента кружального светильника (№ 113/2019).

Слой VIII перекрывал заполнение объекта в виде аморфного пятна зафиксированного в квадрате 28. Оно тянулось на север переходя в границы квадрата 24, где исследования закончились в 2011 г. на уровне около -6,30 м, соответствующим, по мнению исследователей, уровню материка. Присутствие этого пятна связано наверно с перекопом являющимся следствием очередной зачистки дна оборонительного рва. Заполнением перекопа являлся глинистый, плотный, темно-зеленый слой с красноватыми, железистыми натеками и мелкозернистым мергелем. В центральной части перекопа в 0,50 м к северу от его южной границы зафиксирован большой фрагмент наклонно лежащей скалы [рис. 50]. Его верхняя поверхность находилась на уровне от -6,49 м (с восточной стороны) до -6,84 м (с западной стороны). Он сполз по склону оборонительного рва о чем свидетельствует его расположение, а также факт, что после его снятия на этом же месте было найдено каменное грузило для сетей (№ 279/2019). Археологический материал обнаруженный в ходе исследований перекопа немногочисленный. Это археологически целая форма рыбного блюда (№ 173/2019) [рис. 51] и 6 фрагментов керамики. Среди них находились три фрагмента стенок родосских амфор, один обломок амфоры неопределенного производственного центра и два фрагмента стенок лепных сосудов.

Как упоминалось выше при исследовании слоя VI в квадратах 29 и 33 на уровне около -4,20 м были обнаружены человеческие останки. Костяк молодой женщины лежал вытянуто на животе, головой на СВ [рис. 52–53]. Расположение скелета являлось совершенно необычным для погребальных традиции Танаиса. Левая рука согнута в локте и подогнута под тело, кисть ладонью вверх. Лицо обращено к востоку. Ноги слегка согнуты в коленях, стопы сведены вместе, левая поверх правой, оттянуты к югу. На шейных позвонках погребенной обнаружены две бронзовых подвески в виде двух «ведерок» типа 25 по Е. М. Алексеевой¹¹ (№№ 175/2018 и 167/2019) [рис. 54] и четыре бусины (№№ 176–179/2018) [рис. 55]. Еще одна подвеска в виде двух «ведерок» была найдена в районе пояса (№ 168/2019), где обнаружено также две бусины (№№ 165/2019 и 169/2019) [рис. 56–57]. В районе щиколоток обеих ног зафиксированы низки бус. У левой ноги находилась низка состоявшая из 29 бус (№170) [рис. 58]. Низка бус у правой ноги (№ 171/2019) [рис. 59] состояла из 26 бусин. Кроме того в земле находящейся под костяком и вокруг него были обнаружены разрозненные 22 бусины (№ 292/2019). Около 0,50 м к востоку от костяка обнаружены фрагменты лентовидной, бронзовой пластины (№ 166/2019).¹² Необычное расположение скелета и хронология обнаруженных рядом с ним артефактов свидетельствуют, что этот археологический комплекс может являться следом одной из катастроф достигнувших Танаис в середине II или середине III в. н.э.

Работы проведенные в сезонах 2018–2019 гг. в квадратах 30–31 принесли ряд новых данных о активном использовании территории западного Танаиса в период до сооружения оборонительного рва. Об этом свидетельствует присутствие комплекса ям частично

¹¹ АЛЕКСЕЕВА 1982, с. 25 и с. 95, табл. 42, 15–16.

¹² Комплекс опубликован: МАТЕРА 2021.

уничтоженных во время сооружения рва. Исследования 2019 г. показали также, что сам ров был значительно глубже, чем предполагалось до сих пор. Свидетельствует о том наличие в центральной части рва перекопа связанного с попытками его очистки. Косвенным аргументом подтверждающим это заключение является наличие прослоек материковой глины затекших на культурные слои в заполнении рва. Вероятно в ходе предыдущих исследований одна из таких прослоек была интерпретирована как материк находящийся на дне оборонительного рва. Все это заставляет думать, что первоначально также сама форма рва являлась совершенно другой, чем до сих пор считалось. Рассуждения на эту тему будут однако возможны только после полного завершения работ над исследованием напластований заполнения объекта. Это наверно принесет также ряд новых данных о дате сооружения рва. Уже в 2019 г. среди материалов обнаруженных в нижних слоях его засыпи зафиксирован довольно ранний материал конца III – начала II в. до н.э.

Исследования объектов на так называемом вале. Работы в квадратах 112–114 и 118–120

В сезонах 2018–2019 гг. продолжались работы в квадратах 112–114 и 118–120. В сезонах 2015–2017 гг. на территории этих квадратов были открыты остатки архитектурных объектов, связанных с перестройкой помещений С и F, а также поздней фазой их существования – помещениями С1, С2 и F1.¹³

Исследования в помещениях С, С1 и С2 (квадраты 113–114 и 119–120)

Остатки помещения С были выявлены в 2013–2014 гг. в квадратах 113–114. Исследования последних лет показали, что после событий, связанных с экспедицией Полемона, помещение С подверглось перестройке. Оно было разделено на две части стеной 20, возведенной по линии С-Ю. В результате были созданы два помещения – С1 и С2. В предыдущих сезонах в обоих помещениях были выявлены два уровня полов. Первый из них был раскрыт и исследован почти полностью в 2014 г. Он относился к тому периоду, в который помещение С было разделено на две части стеной 20 – помещения С1 и С2. Небольшие фрагменты этого уровня полов, шириной около 1,50 м по линии С-Ю, были оставлены лишь в южной части помещений С1 и С2 [рис. 60]. Второй уровень пола относился к периоду существования неразделенного помещения С и являлся последней фазой его использования. Работы в обоих помещениях начались с исследования первого уровня полов помещений С1 и С2 и полного раскрытия следующего уровня пола, являющегося первой фазой пола в помещении С [рис. 61–62]. Дальше работы проводились только в западной части помещения С, в контурах помещения С1, где раскрыто несколько уровней глинобитных полов и золистых субструкций, что позволило получить стратиграфическую колонку для всех фаз его существования [рис. 63–64]. Зафиксировано один уровень пола связаны с функционированием помещения С1 и четыре уровня полов относившийся к помещению С. От самого позднего до самого раннего уровня фиксировалось падение полов вниз, особенно в центральной и северной части исследованного участка. Его причиной являлось присутствие нескольких хозяйственных либо мусорных ям, прорезавших друг друга и заполненных рыхлым, золистым грунтом, характеризующимся большой непрочностью. Нестабильность полов и их постепенное проседание приводило также к естественному разрушению части стенок

¹³ О результатах исследований на этой территории: Ильяшенко и др. 2018, с. 111–119.

некоторых из ям. В результате произошло частичное смещение напластований, зафиксированных в помещении С, что привело к размытию границ между отдельными объектами и частичное перемешивание археологического материала. Ситуацию усложнял тот факт, что ямы неоднократно прорезали друг друга. В связи с этим, не всегда являлось возможным определить принадлежность ям к тому или другому уровню пола.

Первая фаза пола была, в большей части, открыта еще в сезоне 2014 г. Она являлась жилым уровнем помещения С1. К ней относилась глиняно-каменная печь 2, расположенная у восточного фаса стены 13 в 2,00 м к югу от северо-западного угла помещения. В сезоне 2018 г. была лишь открыта южная часть пола. Верхняя поверхность пола этой фазы находилась изначально на уровне около -2,90 м. Вероятно, с существованием этого пола была связана яма 11/2018. С большой долей вероятности, к первой фазе пола помещения С относилась также яма 13/2018.

Вторая фаза пола [рис. 65–66] находилась на уровне -3,00 м. На нем было зафиксировано пятно ямы 8/2018. Однако небольшая глубина объекта, возможно, свидетельствует о том, что он не относился к уровню этой фазы существования помещения С. К этой фазе пола относилась также яма 14/2018, горловина которой почти целиком находилась под стеной 20. Вторая фаза пола прорезана ямами 11/2018, 13/2018.

Третья фаза пола [рис. 67–68] находилась на уровне -3,10/-3,20 м. На нем фиксировалось аморфное пятно ямы 10/2018. Однако его не удалось оконтурить, поэтому дальнейшее изучение ямы проводилось со следующего уровня – пола четвертой фазы. Третья фаза пола была прорезана ямами 8/2018, 11/2018, 13/2018 и 14/2018.

Четвертая фаза пола [рис. 69–70] находилась на уровне -3,30/-3,40 м. Эта фаза пола была прорезана ямами 8/2018, 11/2018, 13/2018 и 14/2018, а также ямой 10/2018 из-за чего пол этого уровня прослеживался в виде трех отдельных участков, расположенных в северо-западном и юго-западном углах помещения, а также вдоль западного профиля стены 20.

Пятая фаза пола [рис. 71–72] также как и четвертая фаза фиксировалась лишь на трех отдельных участках. Предположительно, с этим уровнем пола связана яма 12/2018.

Яма 8/2018. Зафиксирована на уровне второй фазы пола помещения С. Она располагалась в северо-западном углу помещения С, в 0,20 м к востоку от стены 13 и доходила с севера вплоть до стены 19. Северный край ямы находился на уровне -3,05 м. Южный край не сохранился, так как был прорезан более поздней ямой 10/2018. В плане яма 8/2018 округлой формы. В разрезе – трапецевидная. Диаметр горловины по линии В–З – около 0,90 м; максимальный диаметр – 1,05 м; сохранившаяся глубина – 0,32 м. Ямой 8/2018 прорезаны третья, четвертая и пятая фаза пола помещения С. Дно ямы неровное. В заполнении ямы выделяются два разные по цвету и структуре слоя.

Среди керамики, обнаруженной в яме 8/2018, преобладал материал первых веков нашей эры. Он составлял 79,5% от общего числа находок. Остальные 20,5% приходилось на долю неопределимых типологически и хронологически фрагментов стенок лепной посуды и амфорной тары. Наиболее многочисленной группой являлись фрагменты амфор с двустольными ручками. Эта категория материала представлена обломками амфор типа Внуков С I (№ 157/2018) [рис. 73] и псевдокосских амфор эгейского производства, а также фрагментами амфор красноглиняных. Другие категории амфорной тары представлены находками единичных фрагментов. Это обломки оранжевоглиняных амфор и амфор типа А по классификации Д.Б. Шелова (№ 158/2018) [рис. 74]. Из индивидуальных находок обнаруженных в яме отметим находку мелкой шаровидной бусины из стеклянной пасты (№ 122/2018) [рис. 75].

Яма 10/2018 располагалась в северо-западной части помещения С в 0,30 м к востоку от стены 13 и в 0,60 м к югу от стены 19 [рис. 71]. В плане яма 10/2018 округлой, в разрезе ци-

линдрической формы. Диаметр горловины по линии С–Ю – 1,50 м; по линии В–З – 1,35 м; глубина – 1,05 м. Дно ямы ровное. Ямой 10/2018 прорезаны четвертый и пятый уровень полов помещения С. Она прорезала также яму 8/2018. Сама же яма 10/2018 в восточной части была прорезана более поздней ямой 11/2018 [рис. 76]. С юга яму 10/2018 прорезали еще две более поздние ямы – яма 1/2019 и яма 12/2018 [рис. 76]. В заполнении ямы выделяются два разные по цвету и структуре слоя.

В материале из заполнения ямы фрагменты керамики первых веков нашей эры составляли 62,3% от общего числа находок. Остальные 37,7% находок приходились на долю неопределимых хронологически фрагментов лепных сосудов и амфорных стенок. В керамическом материале преобладали фрагменты амфорной тары. Среди них наибольшую группу составляли обломки псевдокосских амфор гераклейского (№201/2018) и эгейского (№220/2019) производства. Кроме них зафиксированы также обломки южнопонтийских оранжевоглиняных амфор и фрагмент ручки амфоры типа А по классификации Д.Б. Шелова. Следующей по численности группой керамического материала являлась лепная посуда (№№ 221/2019 и 252/2019). Фрагменты столовой керамики единичны. Эта категория керамики представлена находками фрагментов простой кружальной керамики, краснолаковой посуды (№ 200/2018) [рис. 77] и сероглиняных сосудов (№ 222/2019) [рис. 78]. В слое заполнения ямы 10/2018 были также обнаружены две мелкие шаровидные бусины (№№ 173–174/2018) [рис. 79–80].

Яма 11/2018 располагалась в северо-восточном углу исследованной в 2018 г. части помещения С, в 0,40 м к югу от стены 19 [рис. 71]. Она частично входила в профиль под стеной 20. В плане яма 11/2018 округлой формы, в разрезе неправильной цилиндрической формы. Диаметр по линии В–З – 1,40 м; по линии С–Ю яма открыта на ширину 1,50 м; оригинальная глубина – около 1,80 м. Дно ямы скальное, неровное. Первоначально стенки ямы 11/2018 до уровня -4,73 м были покрыты каменной обкладкой из средних и мелких камней. Она лучше сохранилась в южной части объекта. Яма 11/2018 прорезала яму 10/2018 [рис. 76]. Сама же яма 11/2018 в юго-западной части была прорезана более поздней ямой 1/2019 [рис. 76]. Ямой 11/2018 прорезаны вторая, третья, четвертая и пятая фазы полов помещения С. В заполнении ямы выделяется несколько слоев разных по цвету и структуре [рис. 81].

Среди находок, обнаруженных в заполнении ямы 11/2018 преобладали фрагменты амфорной тары первых веков нашей эры. В больших количествах присутствовали обломки амфор типа Внуков С I (№№ 213/2018, 132–133/2019 и 136/2019) [рис. 82–83] и псевдокосских амфор эгейского (№№ 129/2019 и 135/2019) [рис. 84] производства, а также фрагменты красноглиняных амфор. Найдены также единичные фрагменты оранжевоглиняных амфор (№ 214/2018), амфор колхидских (№ 134/2019) [рис. 85], типа В и типа Зеест 83.¹⁴ Лепная керамика представлена находками фрагментов горшков (№№ 202/2018 и 139–140/2019). Столовая посуда представлена лишь единичными фрагментами стенок краснолаковых сосудов и обломками сероглиняной посуды (№№ 137–138/2019). Из эллинистической керамики найдены только фрагменты родосских (№ 212/2018) и немногочисленные обломки косских амфор. Кроме того, в заполнении ямы 11/2018 были найдены: три астрагала (№№ 208/2018 и 210–211/2018), четыре бусины (№№ 209/2018, 24/2019, 26/2019 и 43/2019) [рис. 86–87], фрагмент гончарного светильника (№ 27/2019), костяная рукоять (№ 42/2019), два ткацких грузила (№№ 48–49/2019) [рис. 88], глиняное пряслице биконической формы (№ 86/2019), заготовка для каменного грузила (№ 41/2019) и каменные жернова (№№ 28–29/2019) [рис. 89–90].

Яма 12/2018 располагалась в западной части помещения С у стены 13, в 1,80 м к югу от стены 19 [рис. 71]. В плане яма 12/2018 округлой, в разрезе, вероятно, цилиндрической

¹⁴ Зеест 1960, с. 115–116 и табл. XXXIV, 83а-г.

формы. Диаметр прослеженной части ямы по линии С–Ю – 1,20 м; по линии В–З – 1,20 м. Дно ямы ровное. Яма 12/2018 прорезана с севера ямой 10/2018 [рис. 91] и с юга ямой 13/2018 [рис. 92]. Сама же яма 12/2018 прорезала яму 1/2019 [рис. 91]. Заполнением ямы являлся неоднородный, золистый слой от светло-серого до серо-коричневого цвета с глинистыми прослойками темно-коричневого и оранжево-коричневого цвета, камнями, керамикой и костями животных.

В материале из заполнения ямы преобладали фрагменты амфорной тары первых веков нашей эры – псевдокосских амфор типа Внуков С I (№№ 250–251/2019) и псевдокосских амфор эгейского производства. Зафиксированы также единичные обломки так называемых колхидских, псевдокосских красноглиняных и южнопонтийских оранжевоглиняных амфор. Столовая посуда представлена лишь единичными фрагментами стенок краснолаковых и сероглиняных сосудов. В заполнении ямы 12/2018 зафиксированы также фрагменты лепных горшков (№ 215/2018). Керамика эллинистического времени представлена обломками стенок родосских и книдских амфор. Из индивидуальных находок обнаруженных в яме 12/2018 отметим: рыболовное грузило (№ 205/2018), фрагмента оселка (№ 206/2018), каменное ядро (№ 203/2019) [рис. 93], глазчатую бусину из глухого темно-синего стекла (№ 206/2019) [рис. 94], глиняное пряслице шаровидной формы (№ 207/2019) и фрагмент боспорского калиптера (№ 210/2019) [рис. 95].

Яма 13/2018 располагалась в южной части помещения С в 0,70 м к востоку от стены 13 и в 0,20 м к северу от стены 25 [рис. 71]. Она исследовалась с уровня -3,65 м. В плане яма 13/2018 неправильно округлой, в разрезе цилиндрической формы. Диаметр горловины по линии С–Ю – 1,20 м; по линии В–З – 1,60 м; глубина – от 1,00 м до 1,15 м. Дно ямы неровное. Ямой 13/2018 прорезан пятый уровень пола помещения С. Она прорезала также яму 12/2018 уничтожив ее южную часть [рис. 92]. С целью получения чистого пространства в яме 13/2018 с ее северной стороны была сооружена двухлицевая кладка отделяющая объект от уже засыпанной ямы 12/2018 [рис. 92, 96]. Кладка стенки между ямами постелистая, построена из средних и мелких камней, сложенных на глине. Размеры кладки: высота – 1,03 м; длина – 1,05 м; ширина – 0,45 м. В заполнении ямы выделяются два разных по цвету и структуре слоя.

В материале из заполнения ямы 13/2018 преобладала керамика датированная первыми веками нашей эры. Она составляла 57,7% от общего числа находок. Участие керамики эллинистического времени достигало 3,4%. Остальные 38,9% материала приходились на долю неопределимых хронологически фрагментов лепных сосудов и амфорных стенок. Среди керамики первых веков нашей эры преобладали фрагменты псевдокосских амфор типа Внуков С I (№№ 211–214/2019 и 296/2019) [рис. 97] и псевдокосских амфор эгейского производства. Обломки красноглиняных псевдокосских амфор единичны. Зафиксированы также фрагменты южнопонтийской тары I в. н.э. Фрагменты столовой посуды единичны. Среди них зафиксированы обломки розово- и сероглиняной (№ 215/2019) а также краснолаковой посуды. Одна треть от общего числа керамического материала приходилась на фрагменты лепной посуды (№№ 216–219/2019). В слое заполнения ямы 13/2018 были также обнаружены три бусины (№№ 72/2019, 117/2019 и 130/2019) [рис. 98], два каменных грузила (№№ 38/2019 и 68/2019), каменный терочник (№ 22/2019) фрагмент стенки мегарской чаши (№ 69/2019), астрагал (№ 87/2019), терочник из ручки косской амфоры (№ 112/2019), фрагмент железного гвоздя (№ 141/2019) [рис. 99] и керамическая пробка (№ 70/2019) [рис. 100].

Яма 1/2019 располагалась в северо-западной части помещения С в 0,85 м к востоку от стены 13 и в 1,40 м к югу от стены 19 [рис. 71]. Она исследовалась с уровня -3,81 м. В плане яма 1/2019 округлой, в разрезе, вероятно, цилиндрической формы. Диаметр горловины не возможно определить. На уровне дна диаметр объекта по линии С–Ю – 1,25 м; по линии

В-3 – 1,10 м. Дно ямы скальное, неровное, находится на уровне -5,02 м. Яма 1/2019 прорезала ямы 10/2018 и 11/2018 [рис. 76]. Сама же яма 1/2019 прорезана ямой 12/2018 [рис. 91]. Заполнением ямы являлся неоднородный, перемешанный, рыхлый слой от светло-серого до серо-коричневого цвета с глинистыми прослойками темно-коричневого и оранжево-коричневого цвета, прослойками темно-серой почти черной золы, включениями мелко-зернистого известняка, камнями, керамикой и костями животных.

В материале из заполнения ямы 1/2019 фрагменты керамики первых веков нашей эры составляли 72,2% от общего числа находок. 19,4% приходилось на керамику эллинистического времени. Остальные 8,3% материала приходились на долю неопределимых хронологически фрагментов лепных сосудов. 91,7% всех находок, обнаруженных в яме 1/2019, составляли обломки амфорной тары. Среди них преобладали фрагменты псевдокосских амфор гераклейского и эгейского производства. 8,3% от общего числа керамического материала составляла лепная посуда.

Исследования, проведенные в западной части помещения С, позволили также уточнить и откорректировать некоторые наблюдения, касающиеся его планировки. До сих пор считалось, что помещение С примыкало с юга к помещению В, от которого было отделено общей стеной 17. Однако исследования 2018 г. показали, что северной границей помещения С, скорее всего, являлась стена 19, расположенная южнее. По итогам исследований 2013–2014 гг. она считалась поздней конструкцией, созданной одновременно со стеной 20 во время перестройки эллинистического помещения С и ограничивавшей с севера его площадь. Предполагалось, что в результате такого строительства образовался узкий, вымощенный обломками родосских амфор, переулок – улица «с». Временем его сооружения, как и сооружения стены 19, считался I в. н.э. Однако оказалось, что стена 19 не только построена в переплет со стеной 13, несомненно датированной эллинистическим временем, но и основана на том же самом уровне. Все это позволяет предполагать, что стена 19 являлась северной границей помещения С с момента его возведения. Это приводит к заключению, что вероятно и улица «с» должна датироваться эллинистическим временем. В таком случае, она отделяла бы уже на раннем этапе застройки западной части Танаиса помещения В и С.

Новые данные полученные в ходе исследований 2018 г. позволили также откорректировать заключения связанные с локализацией входа в помещение С. По итогам исследований 2013–2014 гг. считалось, что дверной проём, шириной около 0,80 м, находился со стороны улицы «б» в стене 13. Исследования этого года показали однако, что он локализован с южной стороны помещения, в стене 25, где обнаружена лестница, ведущая из помещения на вымостку в квадратах 119–120.

К комплексу помещений С и F с юга прилегала каменная вымостка. Три фазы ее функционирования были исследованы в сезонах 2015–2017 гг.¹⁵ В 2018 г. исследовались две следующих фазы. Их описание приводится начиная с более ранней конструкции.

Фаза 5 [рис. 101] перекрыта слоем субструкции состоявшим из рыхлого темно-коричневого, почти черного грунта с большим числом мелких камней, речной гальки и прослойками зеленоватой глины. Мощность слоя от около 0,04 до 0,20 м. В керамическом материале, обнаруженном в ходе исследований этого слоя, преобладали фрагменты амфор, составляющие 61,1% от общего числа находок. Второй по численности группой керамики являлись обломки лепной посуды (№ 64/2018). Их процентное участие достигало 36,1%. Остальные 2,8% материала составляли фрагменты столовых сосудов. Среди них – обломки красноглиняной, серолощенной и краснолаковой керамики (№ 85/2018) [рис. 102]. В группе керамической тары преобладали фрагменты родосских амфор. На их долю приходилось

¹⁵ Ильяшенко и др. 2018, с. 117–119.

18,1% всего обнаруженного в слое материала. Довольно большое количество псевдокосских амфор Оно достигало 11,1%. 8,3% всех находок составляют обломки псевдокосских амфор, происходивших из центров Эгеиды. Такой же процент приходится на долю амфор Синопы. Из индивидуальных находок отметим терочник из ручки родосской амфоры (№ 63/2018) [рис. 103] и фрагмент заготовки для рыболовного грузила (№ 49/2018) [рис. 104].

Вымостка сооружена из среднего и мелкого камня-известняка. Максимальные размеры открытого участка вымостки: 8,40 м (по линии В–З) и 2,60 м (по линии С–Ю). В западной и юго-западной части вымостка просела вниз. Эта фаза вымостки занимает гораздо большую площадь, чем предыдущие фазы и тянется далее на восток.

Фаза 4 [рис. 105] перекрыта тонким слоем субструкции из мелких камней, мелкой окатанной гальки, известняковой крошки и рыхлого, неоднородного грунта с прослойками желто-коричневой глины. Цвет слоя от светло-серого до серо-коричневого. Его мощность – от 0,10 м до 0,25 м. В слое, перекрывавшем четвертую фазу вымостки, обнаружен материал, датированный временем после разгрома Танаиса Полемоном в конце I в. до н.э. В массовом керамическом материале, происходившем из этого слоя, фрагменты амфор составляют 44,7% от общего числа находок. На долю лепной керамики приходилось 49,7%, а кружальной столовой лишь 5,6%. В группе керамической тары доминировали фрагменты амфор с двустольными ручками гераклейского (№№ 42/2018 и 44/2018) и эгейского производства. Зафиксированы также фрагменты псевдокосских амфор неопределенных производственных центров. Кроме этого, в слое найдены фрагменты красно- и оранжевоглиняных амфор, а также единичные обломки т.н. колхидской тары. Столовая посуда представлена обломками краснолаковых (№ 41/2018) [рис. 106] и серолощенных сосудов (№ 43/2018) [рис. 107]. Среди лепной керамики найдены, в основном, фрагменты разнообразных горшков (№№ 45–47/2018) [рис. 108–109]. В слое обнаружены также изделия из камня: фрагмент оселка (№ 30/2018) [рис. 110], фрагмент жернова (№ 28/2018) и рыболовное грузило (№ 29/2018).

Этот слой вымостки сооружен из средних и мелких фрагментов известняка. В ней присутствуют лишь отдельные более крупные камни. Максимальные размеры открытого участка вымостки: 7,00 м (по линии В–З) и около 2,60 м (по линии С–Ю). В западной и юго-западной части вымостка просела вниз.

Итоги работ в западной части Танаиса в 2018–2019 гг.

Работы проведенные в квадратах 30–31 принесли ряд новых данных об использовании территории западного Танаиса в период до сооружения оборонительного рва. Об этом свидетельствует присутствие комплекса ям частично уничтоженных во время сооружения рва. Это подтверждает наблюдения предыдущих сезонов, в которых в соседних квадратах 26–27 также исследовались ямы эллинистического времени.¹⁶ Исследования 2019 г. показали также, что по всей видимости сам ров был глубже, чем предполагалось до сих пор, а его форма могла отличаться от имеющихся представлений.

Открытие человеческих останков в квадратах 29 и 33 предположительно является следом одной из катастроф постигших Танаис в середине II в. н.э. или середине следующего столетия. По сей видимости имеем дело с одной из жертв этих событий. Учитывая факт, что до сих пор засвидетельствован только один такой случай¹⁷ открытие в западном районе Танаиса имеет особое значение.

¹⁶ Ильяшенко и др. 2018, с. 108–111.

¹⁷ Арсеньева, Ильяшенко, Науменко 2010, с. 141–142.

Работы, проведенные в западной части помещения С, принесли ряд новых данных о его судьбе после событий, связанных с карательной экспедицией Полемона в конце I в. до н.э. Были открыты пять уровней полов этого помещения. Как показали наблюдения за стратиграфией участка, из них только самый нижний, возможно, относился к эллинистическому периоду. Все остальные фазы существования помещения и подмазывания его пола, вероятно, связаны с очередными ремонтами, происходившими уже в I в. н.э. Вероятно, они были вызваны необходимостью выравнивания полов, проседавших над ямами с рыхлым нестабильным заполнением. Образовывающиеся впадины при ремонте засыпали золой, смешанной с глиной и мусором в виде керамических черепков и костей животных. Использование золы с древесными углями для создания подобных подсыпок под глинобитный пол являлось широко распространенной практикой. Слой такой субструктуры служил не только для выравнивания уровня под новый пол, но являлся также видом гидроизоляции.

Результатом работ в помещении С является также ряд наблюдений относительно его планировки. Удалось доказать, что северной границей помещения является стена 19, а не как считалось раньше стена 17. Бесспорно, был также локализован вход в помещение. К сожалению, очень сложным является соотнесение фаз конструкции вымостки, на которую вела лестница в стене 25, с отдельными фазами полов в помещении С. Однако сам факт сооружения лестницы, которая, по всей видимости, вела вниз с пятой фазы вымостки непосредственно на пятую фазу пола помещения С, может свидетельствовать о том, что уровень вымостки нарастал быстрее, чем уровень полов. Обе конструкции датированы предварительно и довольно широко эллинистическим временем. Они, видимо, в течение более или менее длительного периода существовали одновременно. Вероятно, дальнейшие исследования следующих фаз конструкции вымостки принесут новые данные, позволяющие уточнить предварительные наблюдения сезонов 2018–2019 гг.

Литература

- АЛЕКСЕЕВА 1982 Е. М. АЛЕКСЕЕВА, *Античные бусы Северного Причерноморья* [= *Свод Археологических Источников Г 1-12*], Москва.
Е. М. ALEKSEEVA, *Antičnye busy Severnogo Pričernomor'â* [Ancient beads from the northern Black Sea] [= *Svod Arheologičeskikh Istočnikov G 1-12*], Moscow.
- АРСЕНЬЕВА, ИЛЬЯШЕНКО, НАУМЕНКО 2010 Т. М. АРСЕНЬЕВА, С. М. ИЛЬЯШЕНКО, С. А. НАУМЕНКО 2010, «Исследования на городище Танаис», *Историко-археологические исследования в Азове и на Нижнем Дону* 24, с. 129–145.
Т. М. ARSEN'EVA, S. M. IL'ÅŠENKO, S. A. NAUMENKO 2010, «Issledovaniâ na gorodiše Tanais» [Research at the site of Tanais], *Istoriko-arheologičeskie issledovaniâ v Azove i na Nižnem Donu* 24, pp. 129–145.
- АРСЕНЬЕВА, ШОЛЛЬ 2003 Т. АРСЕНЬЕВА, Т. ШОЛЛЬ, «Отчет о совместных исследованиях, проведенных в Танаисе в сезон 2003 года Беатой Балюкевич, Людмилой Казаковой, Светланой Науменко и Мариушем Волским», *Światowit* 5 (46), с. 91–98.
Т. ARSEN'EVA, T. ŠOLL', «Otčet o sovmestnyh issledovaniâh, provedennyh v Tanais v sezon 2003 goda Beatoj Balûkevič, Lûdmiloj Kazakovej, Svetlanoj Naumenko i Mariušem Volskim» [Report from joint investigations at Tanais in 2003 carried out by Beata Balukiewicz, Ludmila Kazakova, Svetlana Naumienko and Mariusz Wolski], *Światowit* 5 (46), pp. 91–98.

- АРСЕНЬЕВА, ШОЛЛЬ 2006 Т. АРСЕНЬЕВА, Т. ШОЛЛЬ ПРИ СОВМЕСТНОЙ РАБОТЕ С БЕАТОЙ БАЛЮКЕВИЧ, СВЕТЛАННОЙ НАУМЕНКО И МАРТИНОМ МАТЕРОЙ, «Отчет об итогах исследований в 2004 году в Танаисе», *Światowit* 6 (47), с. 59–84.
T. ARSEN'EVA, T. ŠOLL', in collaboration with B. BALŪKEVIČ, S. NAUMENKO and M. MATERA, «Otčet ob itogah issledovanij v 2004 godu v Tanaise» [Report on the results of research at Tanais in 2004], *Światowit* 6 (47), pp. 59–84.
- АРСЕНЬЕВА, ШОЛЛЬ 2012 Т. М. АРСЕНЬЕВА, Т. ШОЛЛЬ ПРИ УЧАСТИИ М. МАТЕРА, С. А. НАУМЕНКО, «Исследования в Западном городском районе Танаиса в 2010 г. (раскоп XXV)», *Novensia* 23, с. 7–94.
T. M. ARSEN'EVA, T. ŠOLL', in collaboration with M. MATERA and S. A. NAUMENKO, «Issledovániâ v Zapadnom gorodskom rajone Tanaisa v 2010 g. (raskop XXV)» [Investigations in the western urban district of Tanais in 2010 (trench XXV)], *Novensia* 23, pp. 7–94.
- АРСЕНЬЕВА, ШОЛЛЬ, МАТЕРА 2006 Т. АРСЕНЬЕВА, Т. ШОЛЛЬ, М. МАТЕРА ПРИ СОВМЕСТНОЙ РАБОТЕ С С. НАУМЕНКО И Ш. ОСТРОВСКИМ, «Отчет об итогах исследований в 2005 году в Танаисе», *Światowit* 6 (47), с. 85–91.
T. ARSEN'EVA, T. ŠOLL', M. MATERA in collaboration with S. NAUMENKO and Š. OSTROVSKI, «Otčet ob itogah issledovanij v 2005 godu v Tanaise» [Report on the results of research at Tanais in 2005], *Światowit* 6 (47), pp. 85–91.
- АРСЕНЬЕВА И ДР. 2016 Т. М. АРСЕНЬЕВА, С. М. ИЛ'ЯШЕНКО, Т. ШОЛЛЬ, М. МАТЕРА, С. А. НАУМЕНКО, «Исследования в Западном городском районе Танаиса в 2012–2014 гг. (раскоп XXV)», *Novensia* 27, с. 123–180.
T. M. ARSEN'EVA, S. M. IL'ÅŠENKO, T. ŠOLL', M. MATERA, S. A. NAUMENKO, «Issledovániâ v Zapadnom gorodskom rajone Tanaisa v 2012–2014 gg. (raskop XXV)» [Investigations in the western urban district of Tanais in 2012–2014 (trench XXV)], *Novensia* 27, pp. 123–180.
- АРСЕНЬЕВА И ДР. 2011a Т. М. АРСЕНЬЕВА, Т. ШОЛЛЬ, М. МАТЕРА, С. А. НАУМЕНКО, А. РОВИНЬСКА, «Исследования в Западном городском районе Танаиса в 2008 г. (раскоп XXV)», *Światowit* 8 (49), с. 69–85.
T. M. ARSEN'EVA, T. ŠOLL', M. MATERA, S. A. NAUMENKO, A. ROVIN'SKA, «Issledovániâ v Zapadnom gorodskom rajone Tanaisa v 2008 g. (raskop XXV)» [Investigations in the western urban district of Tanais in 2008 (trench XXV)], *Światowit* 8 (49), pp. 69–85.
- АРСЕНЬЕВА И ДР. 2011b Т. М. АРСЕНЬЕВА, Т. ШОЛЛЬ, М. МАТЕРА, С. А. НАУМЕНКО, А. РОВИНЬСКА, «Исследования в Западном городском районе Танаиса в 2009 г. (раскоп XXV)», *Światowit* 8 (49), с. 87–106.
T. M. ARSEN'EVA, T. ŠOLL', M. MATERA, S. A. NAUMENKO, A. ROVIN'SKA, «Issledovániâ v Zapadnom gorodskom rajone Tanaisa v 2009 g. (raskop XXV)» [Investigations in the western urban district of Tanais in 2009 (trench XXV)], *Światowit* 8 (49), pp. 87–106.
- АРСЕНЬЕВА И ДР. 2012a Т. М. АРСЕНЬЕВА, Т. ШОЛЛЬ, М. МАТЕРА, С. А. НАУМЕНКО, А. РОВИНЬСКА, «Отчет об исследованиях в Танаисе в 2006 году (раскоп XXV)», *Światowit* 7 (48), с. 41–44.
T. M. ARSEN'EVA, T. ŠOLL', M. MATERA, S. A. NAUMENKO, A. ROVIN'SKA, «Otčet ob issledovániâh v Tanaise v 2006 godu (raskop XXV)» [Report on the results of research at Tanais in 2006 (trench XXV)], *Światowit* 7 (48), pp. 41–44.
- АРСЕНЬЕВА И ДР. 2012b Т. М. АРСЕНЬЕВА, Т. ШОЛЛЬ, М. МАТЕРА, С. А. НАУМЕНКО, А. РОВИНЬСКА, «Отчет об исследованиях в Танаисе в 2007 году (раскоп XXV)», *Światowit* 7 (48), с. 45–54.
T. M. ARSEN'EVA, T. ŠOLL', M. MATERA, S. A. NAUMENKO, A. ROVIN'SKA, «Otčet ob issledovániâh v Tanaise v 2007 godu (raskop XXV)» [Report

- on the results of research at Tanais in 2007 (trench XXV)], *Światowit* 7 (48), pp. 45–54.
- ВНУКОВ 1988 С. Ю. ВНУКОВ, «Широкогорлые светлоглиняные амфоры Северо-Западного Крыма», *Советская археология* 3, с. 198–206.
S. Ū. VNUKOV, «Širokogorlye svetloglinânye amfory Severo-Zapadnogo Kryma» [Wide-necked light clay amphorae from Northwestern Crimea], *Sovetskaâ arheologiâ* 3, pp. 198–206.
- ВНУКОВ 2000 С. Ю. ВНУКОВ, «Псевдокосские амфоры Причерноморья», *Российская археология* 4, с. 54–63.
S. Ū. VNUKOV, «Psevdokosskie amfory Pričernomor'â» [Pseudo-Koan amphorae of the Black Sea region], *Rossijskaâ arheologiâ* 4, pp. 54–63.
- ВНУКОВ 2003 С. Ю. ВНУКОВ, *Причерноморские амфоры I в. до н.э. – II в. н.э. (Морфология)*, Москва.
S. Ū. VNUKOV, *Pričernomorskie amfory I v. do n.è – II v. n.è. (Morfologiâ)* [Black Sea amphorae 1st century BC – 2nd century AD (Morphology)], Moscow.
- ВНУКОВ 2006 С. Ю. ВНУКОВ, *Причерноморские амфоры I в. до н.э. – II в. н.э. Часть II петрография, хронология, проблемы торговли*, Санкт-Петербург.
S. Ū. VNUKOV, *Pričernomorskie amfory I v. do n.è – II v. n.è. II: Petrografiâ, hronologiâ, problemy trgovli* [Black Sea amphorae 1st century BC – 2nd century AD: petrography, chronology, trade issues], Saint Petersburg.
- ДОМЖАЛЬСКИ, ЖУРАВЛЕВ 2003 К. ДОМЖАЛЬСКИ, Д. В. ЖУРАВЛЕВ, «Боспорская сигиллата», [в:] *Боспор Киммерийский и варварский мир в период античности и средневековья* [= *Боспорские чтения* 4], Керч, с. 89–92.
K. DOMŹAL'SKI, D. V. ŹURAVLEV, «Bosporskaâ sigillata» [Bosporan sigillata], [in:] *Bospor Kimmerijskij i varvarskij mir v period antičnosti i srednevekov'â* [= *Bosporskie čtenîâ* 4], Kerch, pp. 89–92.
- ЖУРАВЛЕВ, БЫКОВСКАЯ, ЖЕЛТИКОВА 2010 Д. В. ЖУРАВЛЕВ, Н. В. БЫКОВСКАЯ, А. Л. ЖЕЛТИКОВА, *Светильники второй половины III в. до н.э. – IV в. н.э., т. II, Импортные эллинистические светильники. Боспорские светильники эллинистического и римского времени*, Киев.
D. V. ŹURAVLEV, N. V. BYKOVSKAÂ, A. L. ŹELTIKOVA, *Svetil'niki vtoroj poloviny III v. do n.è. – IV v. n.è., vol. II, Importnye èllinističeskie svetil'niki. Bosporskie svetil'niki èllinističeskogo i rimskogo vremeni* [Lamps from the second half of the 3rd century. BC. – IV century AD, vol. II, Imported Hellenistic lamps. Bosporan lamps from Hellenistic and Roman times], Kyiv.
- ЗЕЕСТ 1960 И. Б. ЗЕЕСТ, *Керамическая тара Боспора*, [= *Материалы и исследования по археологии СССР* 83], Москва.
I. B. ZEEST, *Keramičeskaâ tara Bospora* [Ceramic containers from Bosporus] [= *Materialy i issledovaniâ po arheologii SSSR* 83], Moscow.
- Ильяхенко и др. 2018 С. М. ИЛЬЯШЕНКО, М. МАТЕРА, П. ЛЕХ, М. АДАМЯК, У. ИВАШЧУК, Э. СРОЧЫНЬСКА, «Исследования в Западном городском районе Танаиса в 2015–2017 гг. (раскоп XXV)», *Novensia* 29, с. 103–177.
S. M. IL'ÅŠENKO, M. MATERA, P. LECH, M. ADAMIYAK, U. IWASZCZUK, E. SROCZYŃSKA, «Issledovaniâ v Zapadnom gorodskom rajone Tanaisa v 2015–2017 gg. (raskop XXV)» [Investigations in the western urban district of Tanais in 2015–2017 (trench XXV)], *Novensia* 29, pp. 103–177.
- МАТЕРА 2018 М. МАТЕРА, «Об особенностях жизни в западном Танаисе после полемоновского разгрома», [в:], *Боспорский феномен. Общее и особенное в историко-культурном пространстве античного мира. Материалы международной научной конференции*, часть 1,

- ред. В. Ю. ЗУЕВ, В. А. ХРШАНОВСКИЙ, Санкт-Петербург, с. 300–306.
 М. МАТЕРА, «Ob osobennoŝtáh žizni v zapadnom Tanaise posle polemonovskogo razgroma» [On the peculiarities of life in western Tanais after Polemon's defeat], [in:], *Bosporskij fenomen. Obŝee i osobennoe v istoriko-kul'turnom prostranstve antičnogo mira. Materialy meždunarodnoj naučnoj konferencii*, part 1, eds. V. Ů. ZUEV, V. A. HRŠANOVSKIJ, Saint Petersburg, pp. 300–306.
- МАТЕРА 2019
 М. МАТЕРА, «Фортификация западного района Танаиса», *Вестник Танаиса* 5/2, с. 12–30.
 М. МАТЕРА, «Fortyfikaciã zapadnego rajona Tanaisa» [Fortification of the western region of Tanais], *Vestnik Tanaisa* 5/2, pp. 12–30.
- МАТЕРА 2020
 М. МАТЕРА, «Митридат VI Евпатор и Танаис – к проблеме интерпретации фортификации западного Танаиса», [в:] *Боспорский феномен. Боспорское царство М. И. Ростовцева (взгляд из XXI века). Материалы международной научной конференции*, часть 1, ред. В. А. ХРШАНОВСКИЙ, Санкт-Петербург, с. 70–78.
 М. МАТЕРА, «Mitridat VI Eupator i Tanais – k probleme interpretacii fortifikacii zapadnego Tanaisa» [Mithridates VI Eupator and Tanais - on the problem of interpreting the fortification of western Tanais], [in:] *Bosporskij fenomen. Bosporskoe carstvo M. I. Rostovceva (vzglãd iz XXI veka). Materialy meždunarodnoj naučnoj konferencii*, part 1, ed., V. A. HRŠANOVSKIJ, Saint Petersburg, pp. 70–78.
- МАТЕРА 2021
 М. МАТЕРА, «Еще одна жертва времени гибели Танаиса? Об интерпретации человеческих останков открытых в западном городском районе», [в:] *Interdisciplinary research on the antiquity of the Black Sea*, ред. М. МАТЕРА, R. KARASIEWICZ-SZCZYPIORSKI [= *Światowit Supplement Series C: Pontica et Caucasia* 2], Warsaw, с. 45–58.
 М. МАТЕРА, «Eŝe odna ŝertva vremeni gibeli Tanaisa? Ob interpretacii čelovečeskich ostankov otkrytyh v zapadnom gorodskom rajone» [Another victim of Tanais' destruction? On the interpretation of human remains discovered in the western urban area], [in:] *Interdisciplinary research on the antiquity of the Black Sea*, eds. M. MATERA, R. KARASIEWICZ-SZCZYPIORSKI [= *Światowit Supplement Series C: Pontica et Caucasia* 2], Warsaw, pp. 45–58.
- ШЕЛОВ 1978
 Д. Б. ШЕЛОВ, «Узкогорлые светлоглиняные амфоры первых веков нашей эры. Классификация и хронология», *Краткие Сообщения Института Археологии* 156, с. 16–21.
 D. B. ŜELOV, «Uzko gorlye svetloglinãnyje amfory pervykh vekov naŝej èry. Klassifikaciã i hronologiã» [Light clay amphorae with narrow necks from the first centuries of our era. Classification and chronology], *Kratkie Soobŝeniã Instituta Arheologii* 156, pp. 16–21.
- ШОЛЛЬ 2008a
 Т. ШОЛЛЬ, «Десять лет раскопок Варшавского Университета в Танаис», *Novensia* 18–19, с. 307–338.
 T. ŜOLL', «Desãt' let raskopok Varŝavskogo Universiteta v Tanais» [Ten years of University of Warsaw excavations at Tanais], *Novensia* 18–19, pp. 307–338.
- ШОЛЛЬ 2008b
 Т. ШОЛЛЬ, «Западная часть эллинистического Танаиса. По итогам раскопок Варшавского Университета», [в:] *Pontika 2006. Recent Research in Northern Black Sea Coast Greek Colonies. Proceedings of the International Conference, Kraków, 18th March, 2006*, ред. Е. РАПУЦИ-ВЛАДУКА, Kraków, с. 177–189.
 T. ŜOLL', «Zapadnã čast' èllinističeskogo Tanaisa. Po itogam raskopok Varŝavskogo Universiteta» [The western part of Hellenistic Tanais. Based on the excavations of the University of Warsaw], [in:] *Pontika*

2006. *Recent Research in Northern Black Sea Coast Greek Colonies. Proceedings of the International Conference, Kraków, 18th March, 2006*, ed. E. RAPUĆI-WŁADYKA, Stacow, pp. 177–189.
- ШОЛЛЬ 2012 Т. ШОЛЛЬ, «Деятельность Митридата VI Евпатора в Танаисе в свете результатов польских исследований в Западном городском районе (раскоп XXV)», *Археология, древний мир и средние века* 5, с. 11–16.
T. ŠOLL', «Deâtel'nost' Mitridata VI Eupatora v Tanaise v svete rezul'tatov pol'skih issledovanij v Zapadnom gorodskom rajone (raskop XXV)» [Mithridates VI Eupator in Tanais in light of the results of Polish research in the western urban district (trench XXV)], *Arheologią, drevnij mir i srednie veka* 5, pp. 11–16.
- ШОЛЛЬ, МАТЕРА 2012 Т. ШОЛЛЬ, М. МАТЕРА, «Система обороны въезда в западный городской район Танаиса по результатам польско-российских исследований», [в:] *Боспор Киммерийский и варварский мир в период античности и средневековья. Проблемы урбанизации* [= *Боспорские чтения* 13], Керч, с. 482–488.
T. ŠOLL', M. MATERA, «Sistema oborony v'ezda v zapadnyj gorodskoj rajon Tanaisa po rezul'tatam pol'sko-rossijskih issledovanij» [The defense system protecting the entrance to the western urban district of Tanais based on the results of Polish-Russian investigations], [in:] *Bospor Kimmerijskij i varvarskij mir v period antičnosti i srednevekov'â. Problemy urbanizacii* [= *Bosporskie čteníâ* 13], Kerch, pp. 482–488.
- ШОЛЛЬ, РОВИНЬСКА 2013 Т. ШОЛЛЬ, А. РОВИНЬСКА, «Пятнадцать лет раскопок Варшавского Университета в Танаисе», *Вестник Танаиса* 3, с. 48–62.
T. ŠOLL', A. ROVIN'SKA, «Pâtnadcat' let raskopok Varšavskogo Universiteta v Tanaise» [Fifteen years of University of Warsaw excavations at Tanais], *Vestnik Tanaisa* 3, pp. 48–62.
- ARSENIEWA, SCHOLL 2000 T. ARSENIEWA, T. SCHOLL przy współpracy L. KAZAKOWEJ, K. MISIEWICZA, S. NAUMIENKO, E. OMERNIK i K. PIASECKIEGO, «Sprawozdanie z kampanii wykopaliskowej przeprowadzonej na terenie zachodniej nekropoli Tanais w sezonie 1999», *Światowit* 2 (43), с. 13–16.
- ARSENIEWA, SCHOLL 2001 T. ARSENIEWA, T. SCHOLL przy współpracy B. BALUKIEWICZ, R. CHOWANIEC, P. JAWORSKIEGO, L. KAZAKOWEJ, S. NAUMIENKO i K. SZANTROCH, «Sprawozdanie z kampanii wykopaliskowej przeprowadzonej na terenie tzw. zachodniej nekropoli Tanais w sezonie 2000», *Światowit* 3 (44), с. 17–19.
- ARSENIEWA, SCHOLL 2002 T. ARSENIEWA, T. SCHOLL przy współpracy B. BALUKIEWICZ, J. JABLONOWSKIEJ-TARACHY, L. KAZAKOWEJ, S. NAUMIENKO i A. PASTEWKI, «Sprawozdanie z kampanii wykopaliskowej w Tanais przeprowadzonej w sezonie 2002», *Światowit* 4 (45), с. 13–20.
- KASSAB TEZGÖR 2010 D. KASSAB TEZGÖR, «Typologie des amphores sinopéennes entre les IIe-IIIe s. et le VIe s. ap. J.-C.», [в:] *Les fouilles et le materiel de l'atelier amphorique de Demirci près de Sinope*, ред. D. KASSAB TEZGÖR [= *Varia Anatolica* 22], Paris, с. 121–140.
- МАТЕРА 2021 M. MATERA, «New data about the western part of Tanais – the fortifications and their vicinity», [в:] *The Greeks and Romans in the Black Sea and the Importance of the Pontic Region for the Graeco-Roman World (7th century BC-5th century AD): 20 Years On (1997-2017): Proceedings of the Sixth International Congress on Black Sea Antiquities (Constanța – 18-22 September 2017)*, ред. G. R. TSETSKHLADZE, A. AVRAM, J. HARGRAVE, Oxford, с. 447–455.
- МАТЕРА, ЛЕЧ, СРОЦЫНСКА 2018a M. MATERA, P. LECH, E. SROCZYŃSKA, «Tanais, Russia. Excavations in the 2015 Season», *Światowit* 13–14 (54–55), с. 365–371.

- MATERA, LECH, SROCZYŃSKA 2018b M. MATERA, P. LECH, E. SROCZYŃSKA, «Tanais, Russia. Excavations in the 2016 Season», *Światowit* 13–14 (54–55), c. 373–380.
- MATERA, SCHOLL 2020 M. MATERA, T. SCHOLL, «Hellenistic housing in Western Tanais», [B:] *Ex Oriente Lux. Studies in Honour of Jolanta Młynarczyk*, red. K. JAKUBIAK, A. ŁAJTAR, Warsaw, c. 435–448.
- NAUMENKO, SCHOLL 2014 S. NAUMENKO, T. SCHOLL, «New data on the fortifications of Tanais from the last five years of excavations», [B:] *Tyritake. Antique Site at Cimmerian Bosphorus*, red. A. TWARDECKI, Warsaw, c. 187–201.
- RILEY 1979 J. A. RILEY, Coarse Pottery, [B:] *Excavations at Sidi Khrebish, Benghazi (Berenice) 2*, red. J. A. LLOYD [= *Libya Antiqua Supplements* 5], Tripoli, c. 91–467.
- SCHOLL 2004 T. SCHOLL, «Polish Excavations at Tanais», *Novensia* 15, c. 239–245.
- SCHOLL 2005a T. SCHOLL, «Polish excavations in Hellenistic Tanais», *Eurasia Antiqua* 11, c. 137–145.
- SCHOLL 2005b T. SCHOLL, «The fortifications of Tanais in the light of Warsaw University Excavations», *Études et Travaux* 20, c. 247–259.
- SCHOLL 2009 T. SCHOLL, «Most hellenistyczny w Tanais», [B:] *Blisko i daleko. Księga Jubileuszowa Instytutu Archeologii Uniwersytetu Warszawskiego*, red. B. Kaim, Warszawa, c. 167–173.
- SCHOLL 2011a T. SCHOLL, «Tanais – Excavations in 2010», *Światowit* 8 (49), c. 203–204.
- SCHOLL 2011b T. SCHOLL, «The Hellenistic Bridge at Tanais», [B:] *Archäologie der Brücken*, Regensburg, c. 58–60.
- SCHOLL 2011c T. SCHOLL, «Western Tanais in the Light of the latest Research of the University of Warsaw», [B:] *Pontika 2008. Recent Research on the Northern and Eastern Black Sea in Ancient Times. Proceednigs of the International Conference, 21st–26th April 2008, Kraków*, red. E. PAPUCI-WŁADYKA, M. VICKERS, J. BODZEK, D. BRAUND (= *British Archaeological Reports International Series* 2240), Oxford, c. 299–303.
- SCHOLL 2014 T. SCHOLL, *Miasta bosporańskie od VI po połowę I wieku p.n.e.* [= *Światowit Supplement Series A: Antiquity* 14], Warszawa.
- SCHOLL 2012 T. SCHOLL, «Tanais, Russia. Excavations in 2011», *Światowit* 9 (50), c. 215–218.
- ŠELOV 1986 D. B. ŠELOV, «Les amphores d'argile claire des premiers siècles de notre ère en mer Noire», [B:] *Recherches sur les amphores grecques*, red. J-Y. EMPEREUR, Y. GARLAN [= *Bulletin de Correspondance Hellénique, Supplément* 13], Athènes, c. 395–400.

Summary

Investigations in the western urban district of Tanais in 2018–2019 (trench XXV)

In 2018–2019, the archaeological expedition of the Antiquity of Southeastern Europe Research Centre and the Institute of Archaeology of the University of Warsaw continued the excavation of the western part of the city of Tanais, that is, trench XXV. Research was carried out in the southern part of trench XXV, in squares 26, 28–29, 30–33, 112–114 and 118–120. The objective was to uncover the remains of Hellenistic fortifications and a part of the town architecture located south of the city gate.

Squares 26, 28–29 and 30–33

The fill of the defensive ditch and the archaeological objects located in this area were explored in squares 26, 28–29 and 30–33. A set of Hellenistic pits located directly on and in front of the

counterscarp was excavated. Their presence confirmed observations of previous seasons, in which Hellenistic pits were also explored in neighbouring squares 26–27.

Moreover, a burial of a child in an amphora and a human skeleton were discovered in this area. The human skeleton was probably the remains of one of the victims of Tanais' destruction in the Roman period. The artefacts discovered with the skeleton do not allow us to clearly determine whether it was a destruction in the mid-2nd century AD or events that occurred approximately 100 years later.

The works of 2019 season showed that, apparently, the defensive ditch was deeper than hitherto assumed, and its shape could differ from existing ideas.

Squares 112–114 and 118–120

The investigation of the southern part of trench XXV in previous seasons brought new data on the functioning of the western part of the town after Tanais had succumbed to the king of Bosphorus Polemon. The architectural complex uncovered and explored in squares 112–113 and 119–120 in previous seasons appears to have been intensively occupied and rebuilt already in the first century AD. This complex included rooms C, E and F. In 2018–2019, works on the study of this complex have been continued. The research was concentrated in Room C and the pavement adjoined to it from the south.

In Room C, subsequent levels of clay floors and pits related to their functioning were examined. As a result, the stratigraphy of floors in Room C was obtained. Five floor levels were separated. Observations of the stratigraphy have shown, that only the lowest of them may have belonged to the Hellenistic period. All other phases of the existence of the Room C were probably associated with regular renovations that took place already in the 1st century AD.

A stone pavement adjoined to Room C from the south was also investigated in previous seasons. Three constructional phases were distinguished, all three dated to the 1st century AD. In 2018–2019, two other phases of this pavement were excavated.

Сергей Михайлович Ильяшенко
Институт Археологии РАН
Sergey Mikhaylovich Il'yashenko
Institute of Archaeology RAS
e-mail: gorgip23@gmail.com

Марчин Матера
Факультет археологии
Варшавского университета
Marcin Matera
Faculty of Archaeology
University of Warsaw
e-mail: marcinmatera@uw.edu.pl
<https://orcid.org/0000-0003-4913-0749>

Павел Лех
Центр средиземноморской археологии
Варгавского университета
Paweł Lech
Polish Center of Mediterranean Archaeology
University of Warsaw
e-mail: p.lech@uw.edu.pl
<https://orcid.org/0000-0003-3952-9801>



Рис. 1. Генплан раскопа XXV с архитектурными объектами 1999–2019 гг



Рис. 2. Ямы 3/2016, 9/2016 и 11/2016. Вид с юга



Рис. 3. Ямы 3/2016, 9/2016 и 11/2016. Вид с запада

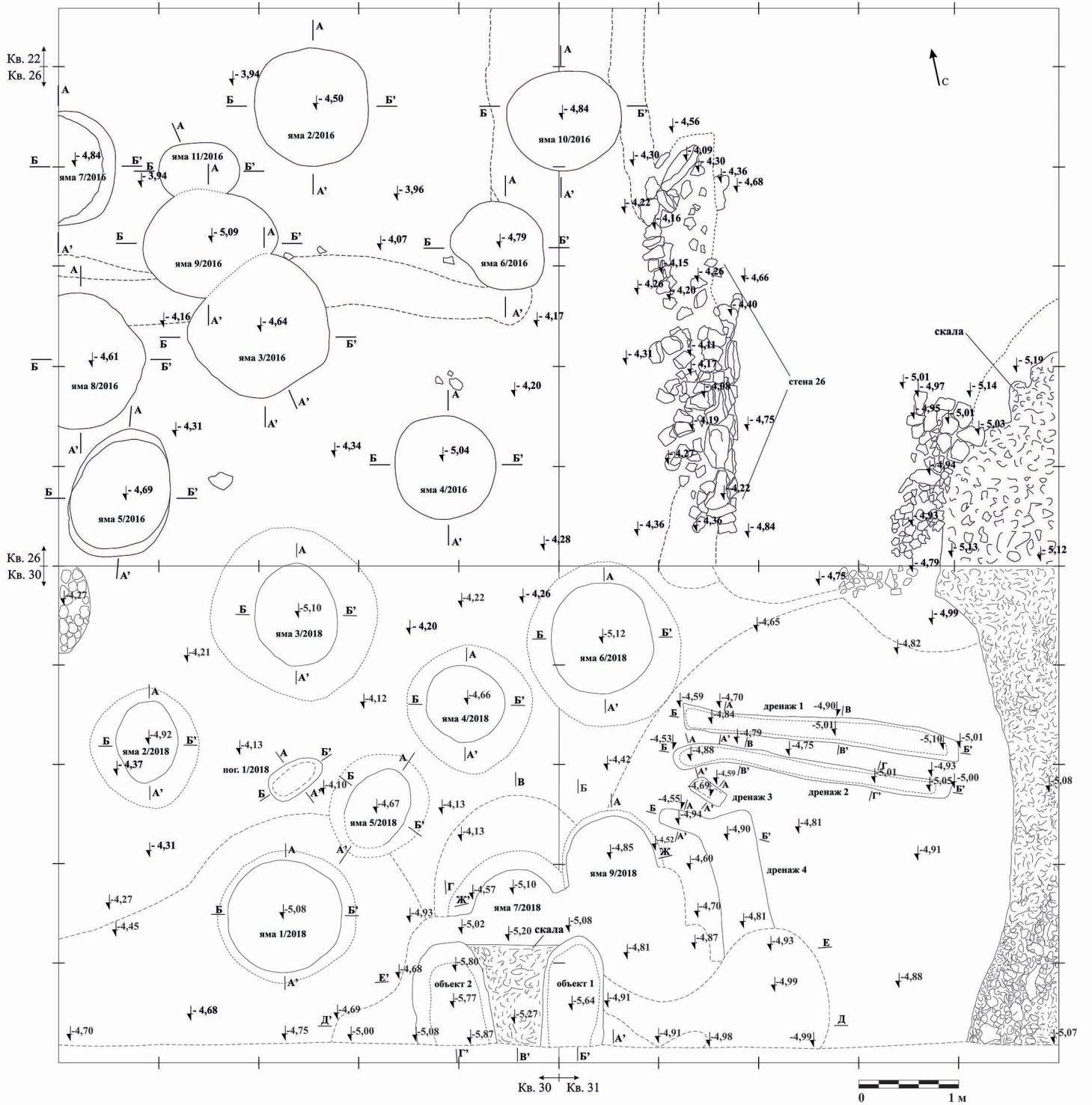


Рис. 4. План расположения архитектурных объектов в квадратах 26–27 и 30–31

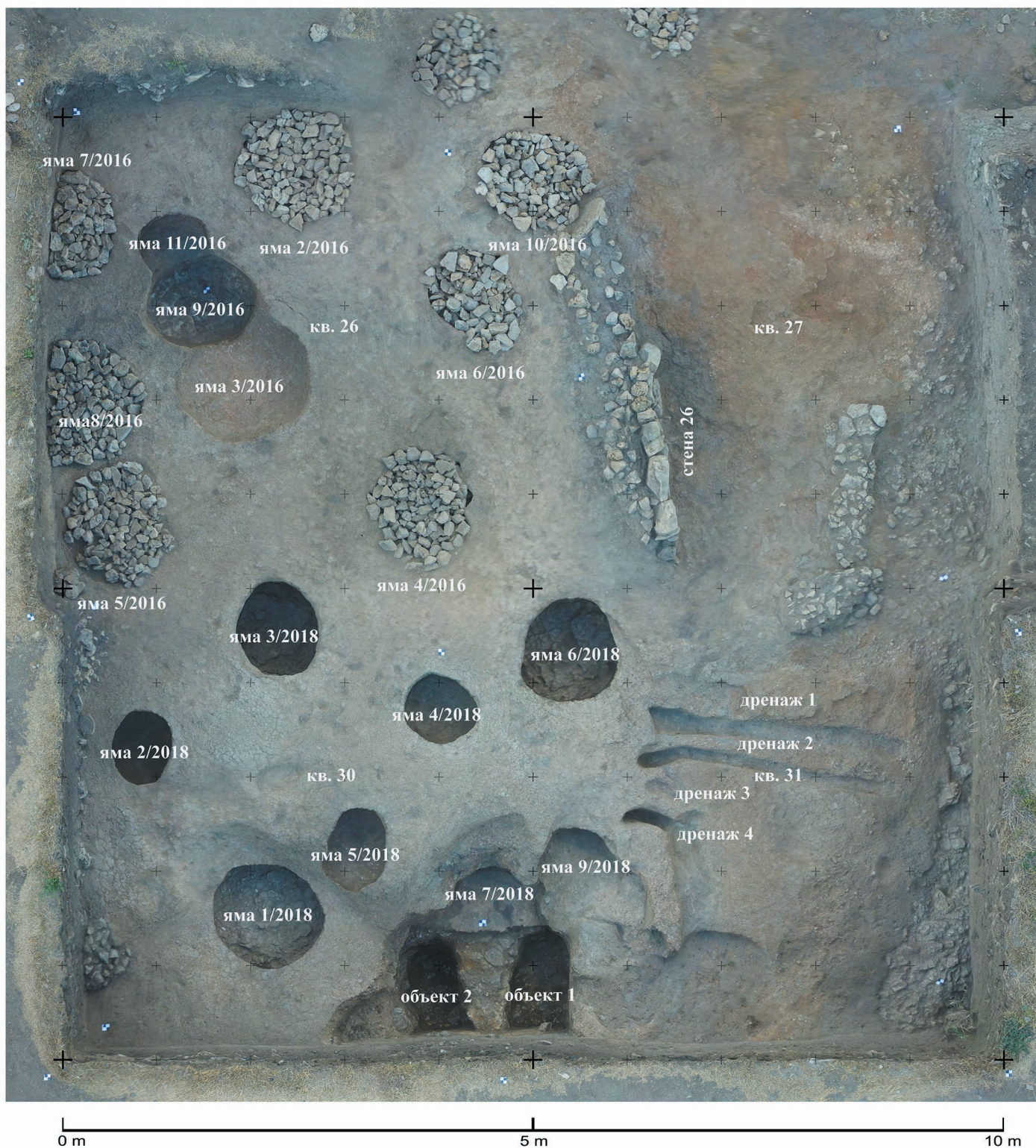
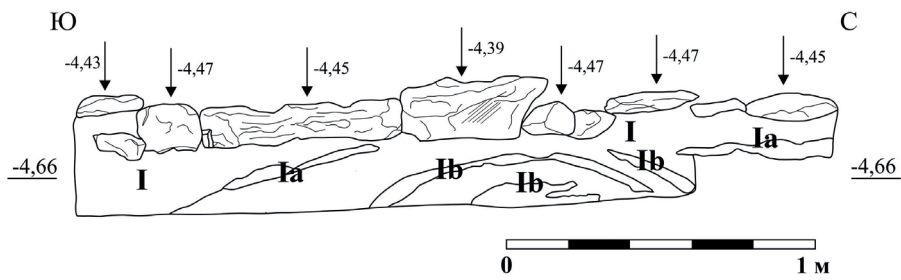


Рис. 5. Ортофотография архитектурных объектов в квадратах 26–27 и 30–31



Рис. 6. Стена 28 в квадрате 31. Восточный фас и стратиграфия под стеной



I - рыхлый, неоднородный, золистый слой от светло- до темно-серого цвета
Ia - золистые прослойки темно-серого почти черного цвета
Ib - прослойки коричнево-оранжевой глины

Рис. 7. Стена 28 в квадрате 31. Восточный фас и стратиграфия под стеной

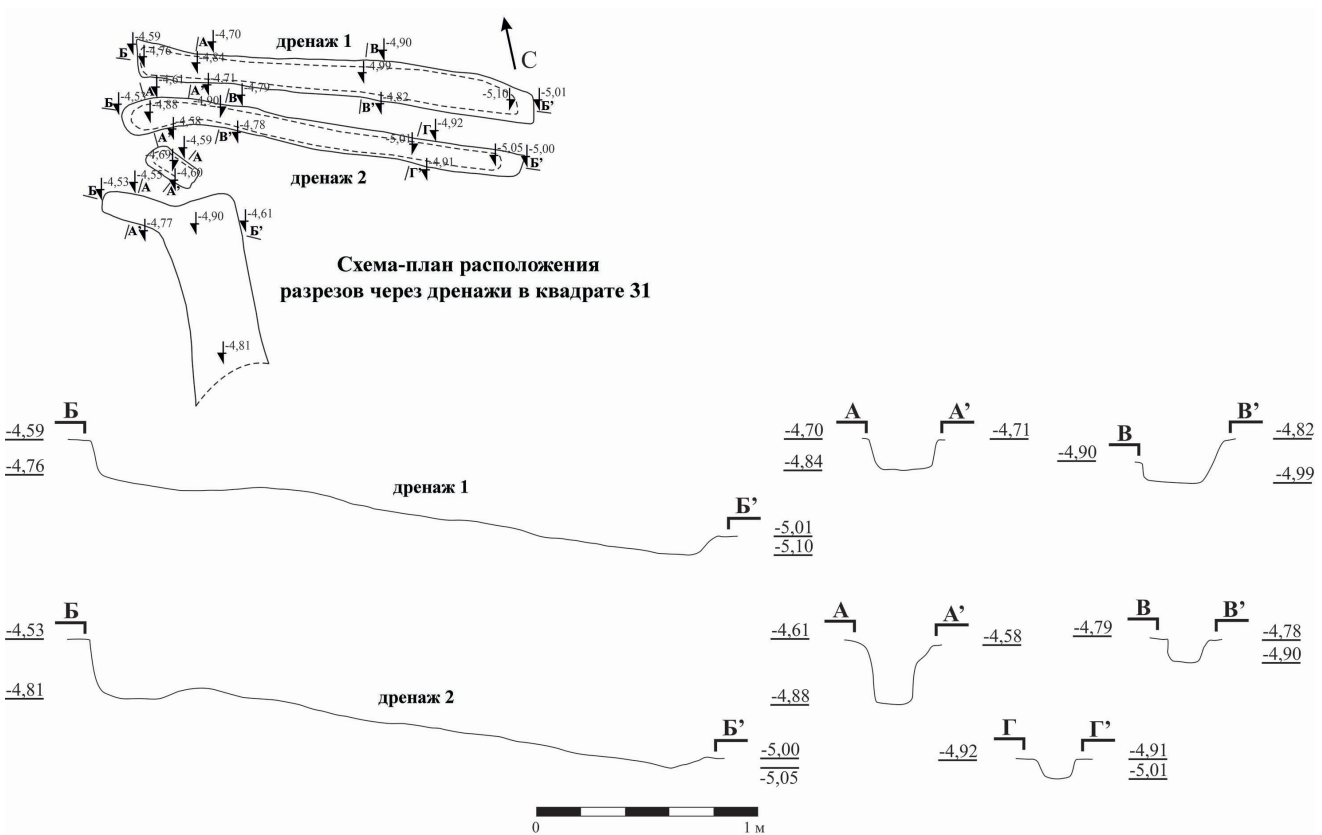


Рис. 8. Разрезы через дренажи 1 и 2 в квадрате 31

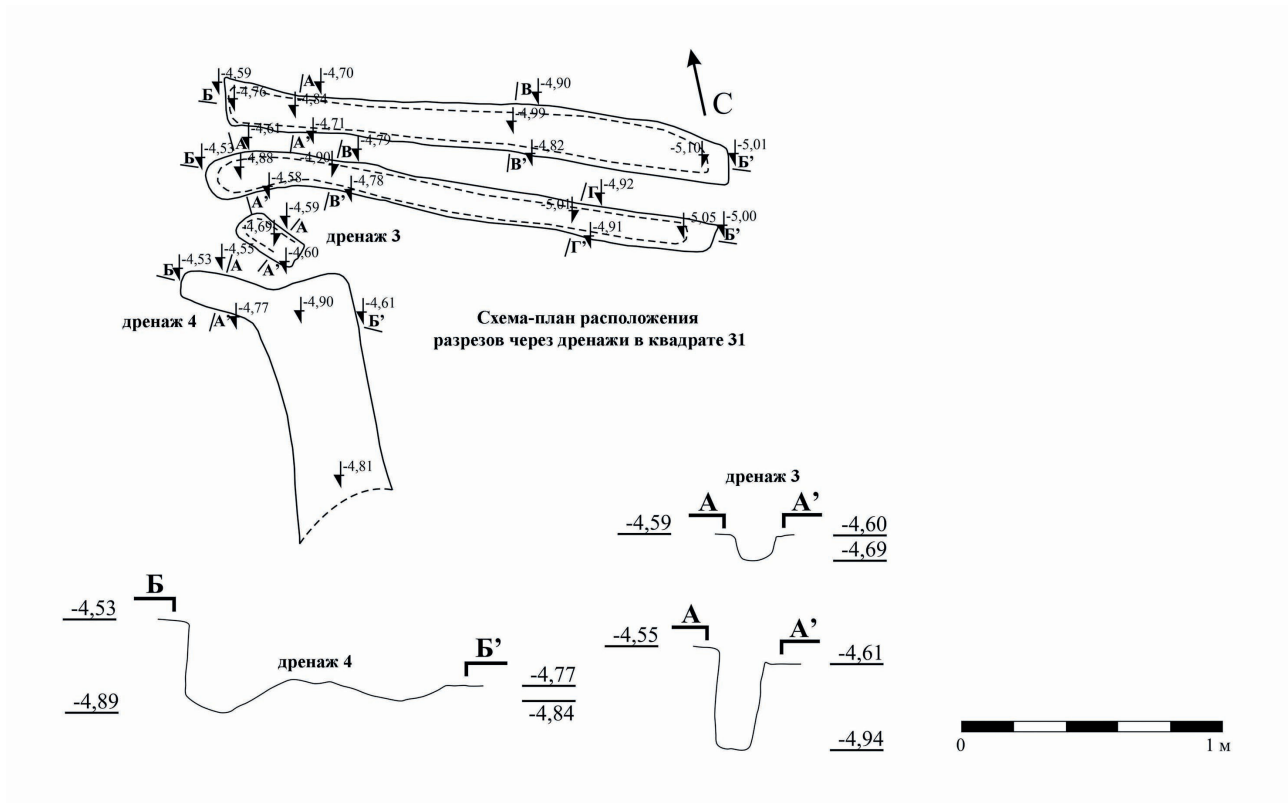


Рис. 9. Разрезы через дренажи 3 и 4 в квадрате 31



Рис. 10. «Объекты 1 и 2» в квадратах 30–31. Вид с юга



Рис. 11. Человеческие останки в «объекте 1». Вид с юга



Рис. 12. Развал краснолакового боспорского кувшина в «объекте 2». Вид с севера

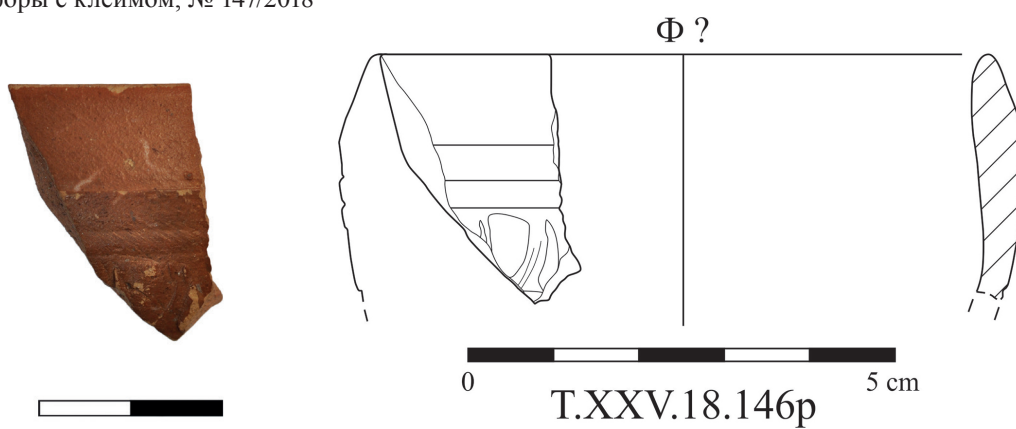


Рис. 13. Краснолаковый кувшин из «объекта 2», № 167/2018



Рис. 14. Фрагмент ручки родосской амфоры с клеймом, № 147/2018

Рис. 15. Миниатюрный лепной горшочек, № 144/2018



Т.ХХV.18.144р

Рис. 16. Фрагмент венчика мегарской чаши, № 146/2018



Рис. 17. Красноглиняный светильник, № 58/2018

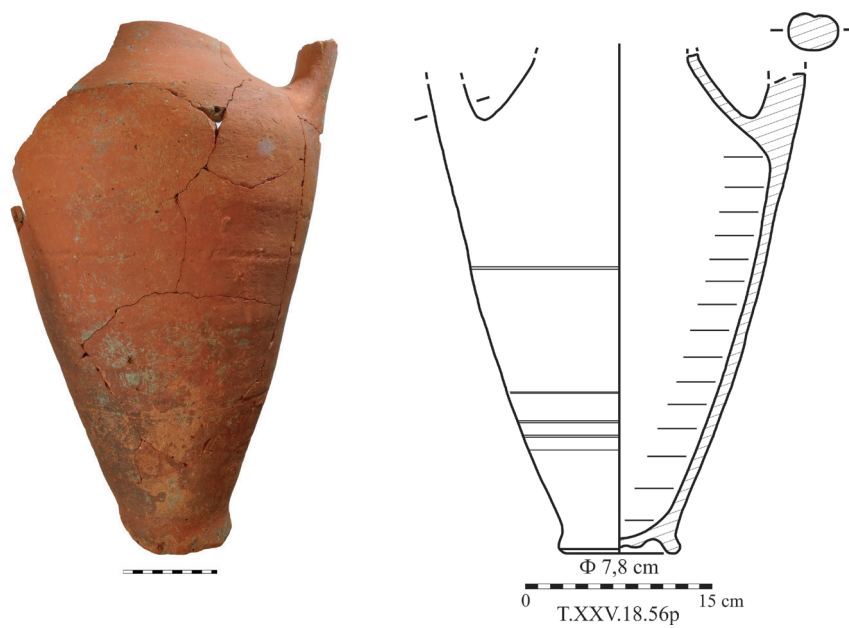


Рис. 18. Южнопонтийская, оранжевоглиняная амфора № 56/2018 из погребения 1/2018

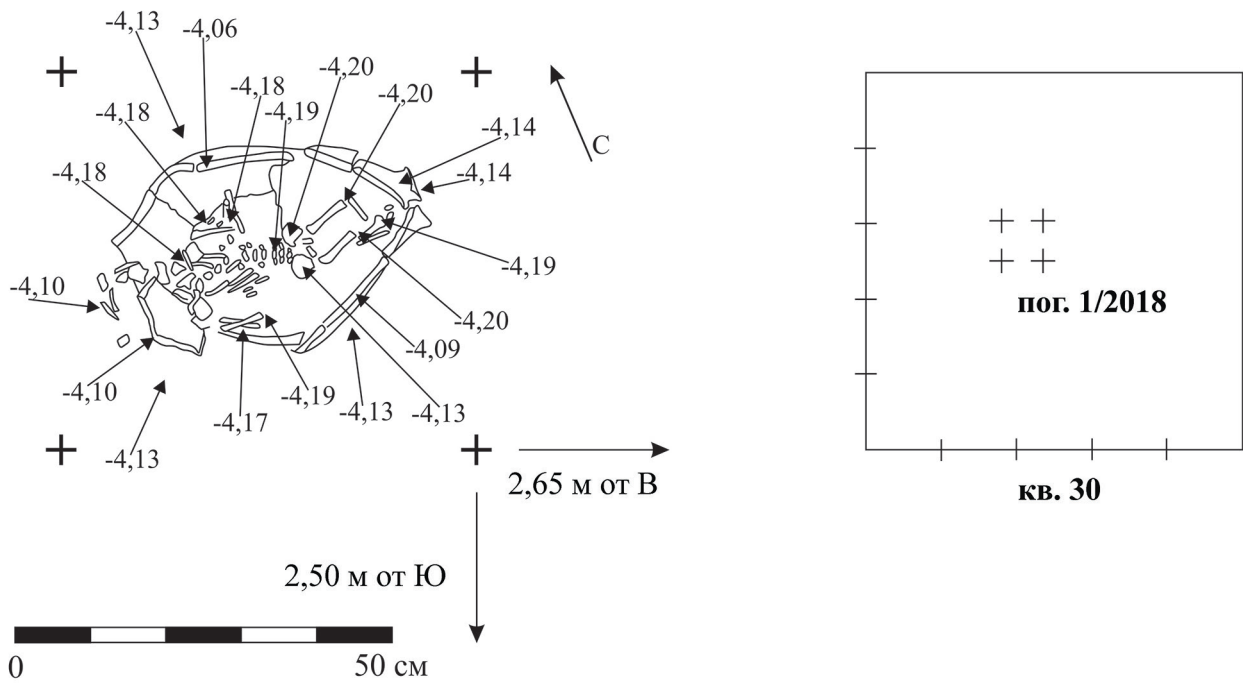


Рис. 19. Погребение 1/2018 в квадрате 30. План



Рис. 20. Погребение 1/2018 в квадрате 30. Вид с востока

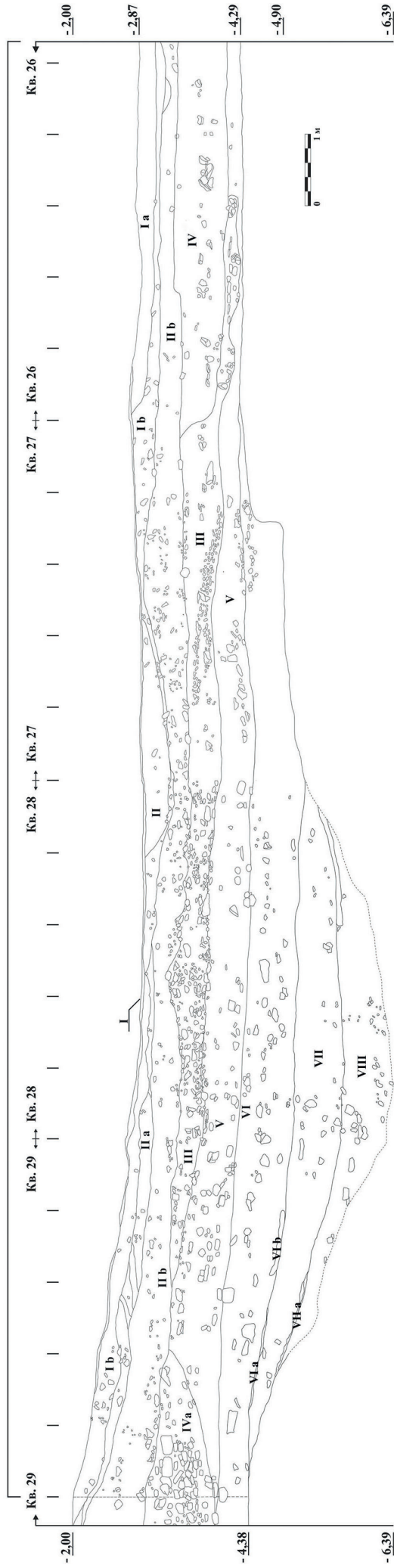


Рис. 21. Южный профиль квадратов 26–29

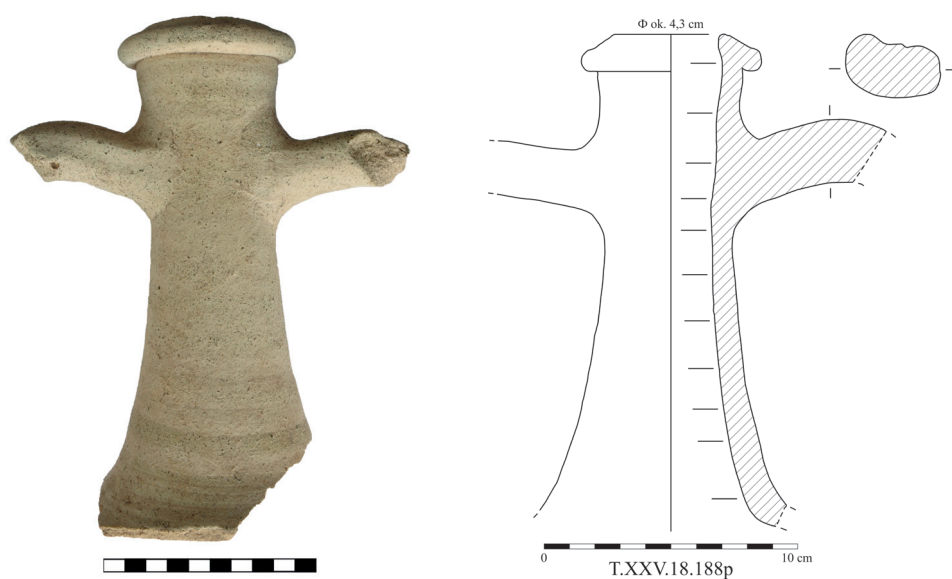


Рис. 22. Фрагмент горла амфоры типа С, № 188/2018

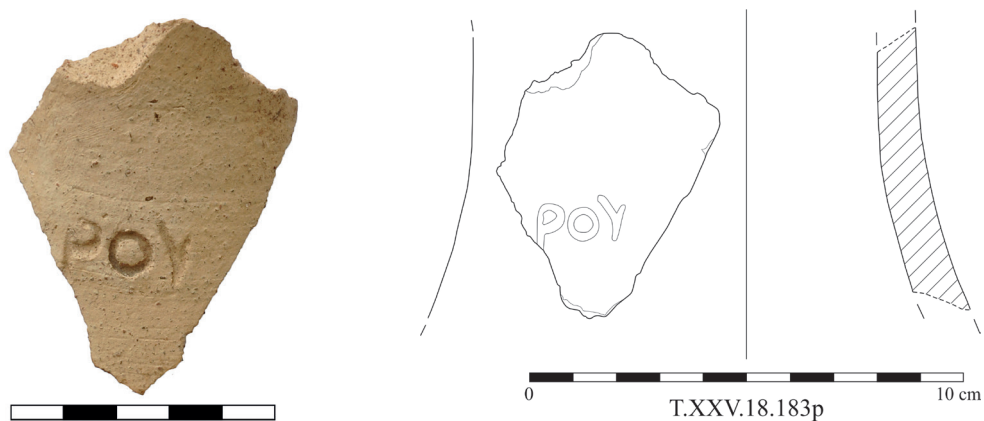


Рис. 23. Фрагмент горла амфоры типа С с энграфическим клеймом, № 183/2018

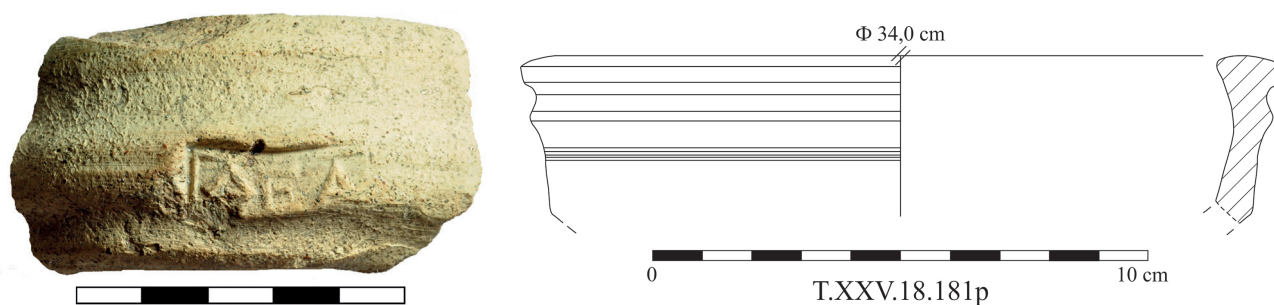


Рис. 24. Фрагмент ручки амфоры типа D с клеймом, № 124/2018

Рис. 25. Фрагмент венчика серолошенной миски, № 181/2018

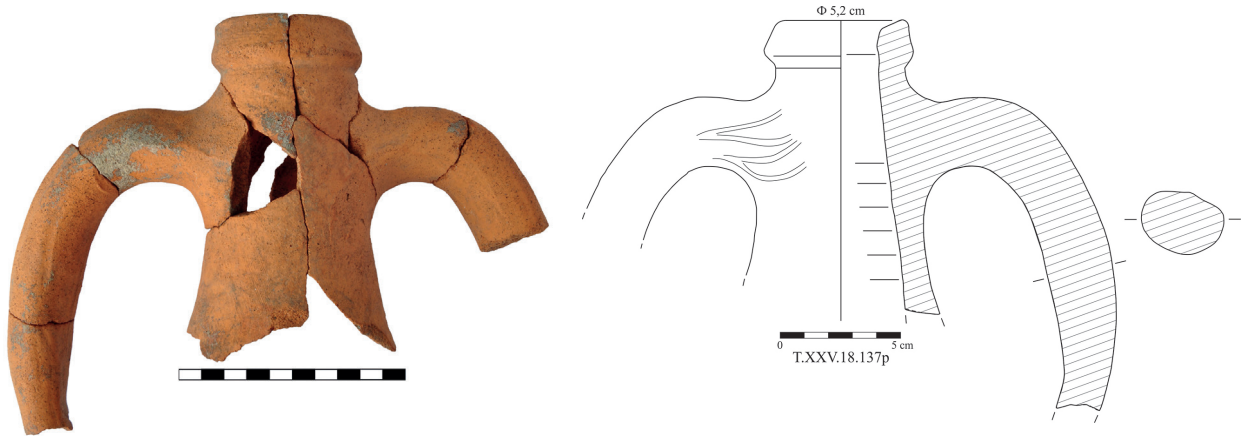


Рис. 26. Фрагмент горла амфоры типа Е, № 137/2018



Рис. 27. Фрагмент венчика амфоры типа Зеест 100, № 127/2018

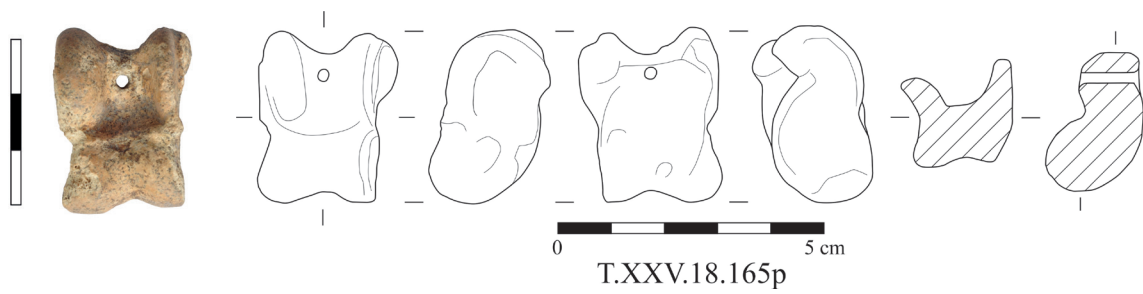


Рис. 28. Обработанный астрагал, № 165/2018

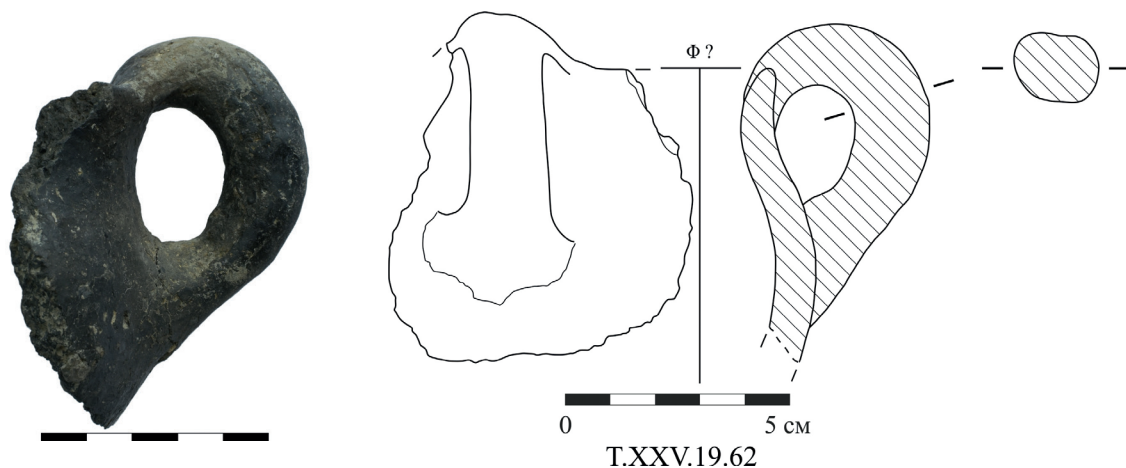


Рис. 29. Фрагмент верхней части лепного сосуда, № 62/2019

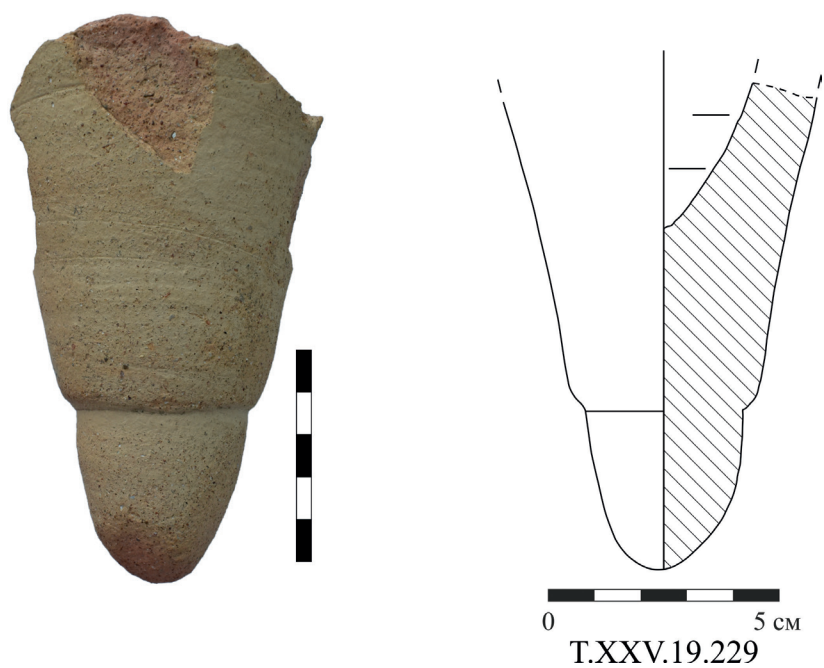


Рис. 30. Ножка псевдокосской амфоры типа Внуков С I, № 229/2019



Рис. 31. Фрагмент венчика краснолаковой миски, № 196/2018

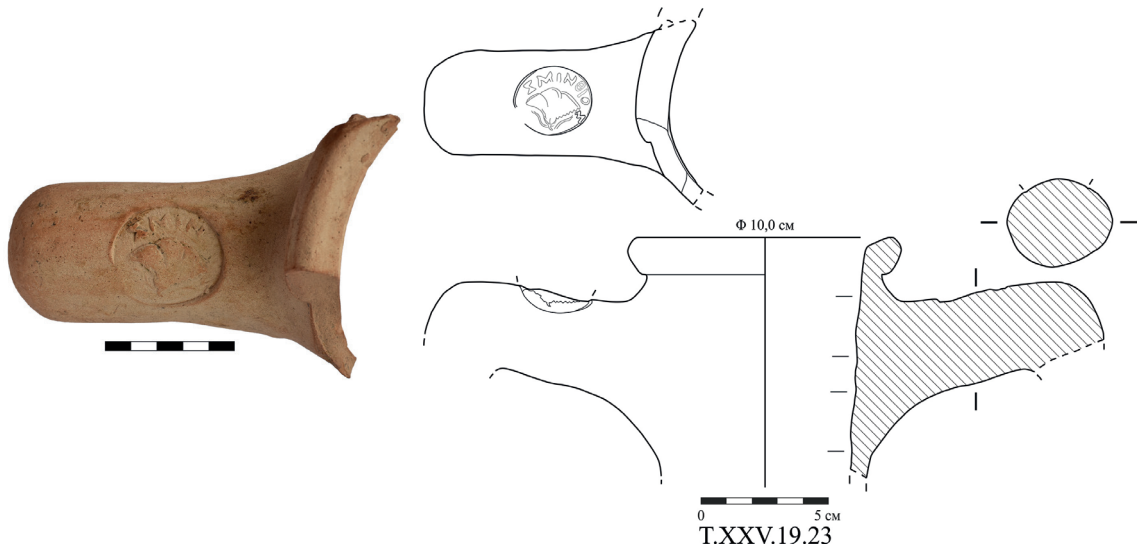


Рис. 32. Фрагмент венчика и ручки родосской амфоры с клеймом, № 23/2019

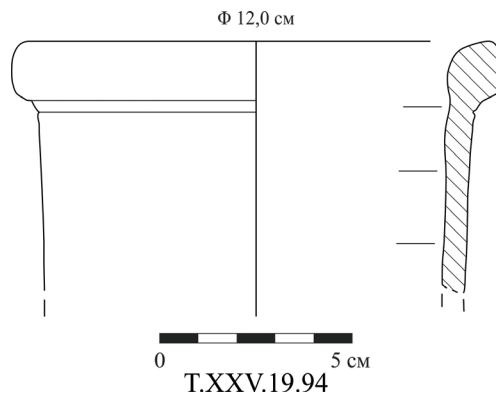


Рис. 33. Фрагмент венчика родосской амфоры, № 94/2019



Рис. 34. Ножка родосской амфоры, № 238/2019

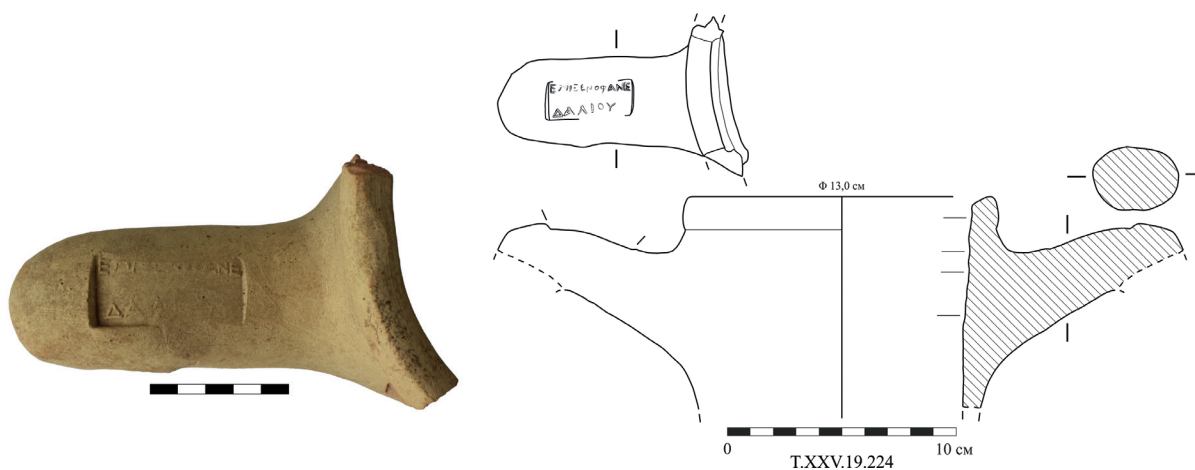


Рис. 35. Фрагмент венчика и ручки родосской амфоры с клеймом, № 224/2019

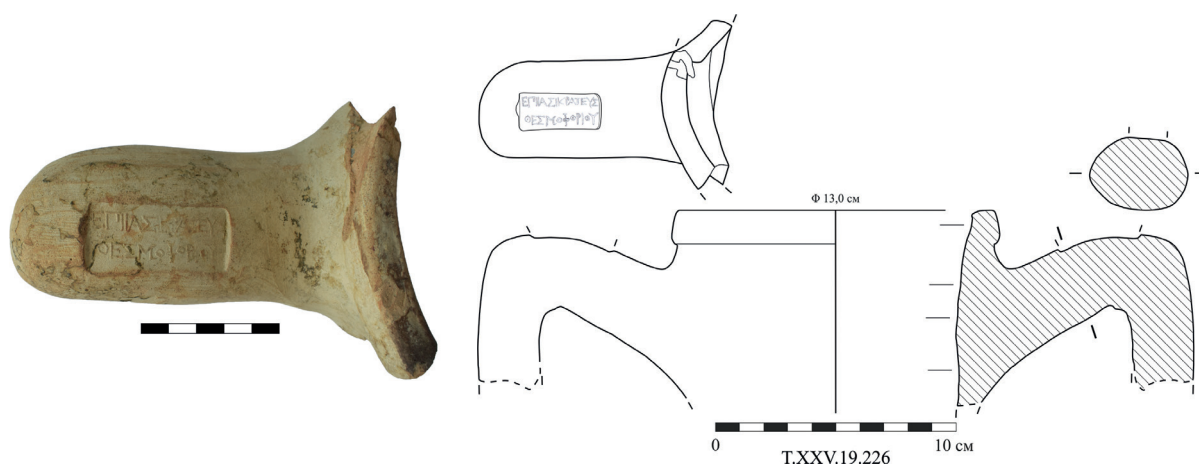


Рис. 36. Фрагмент венчика и ручки родосской амфоры с клеймом, № 226/2019

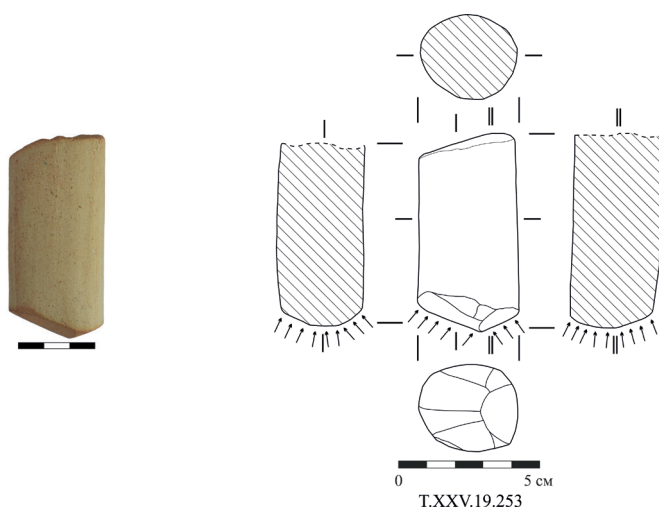


Рис. 37. Терочник из ручки родосской амфоры, № 253/2019



Рис. 38. Фрагмент книдской амфоры, № 109/2019



Рис. 39. Фрагмент ручки синопской амфоры с клеймом, № 198/2019

Рис. 40. Глиняное пряслице, № 47/2019

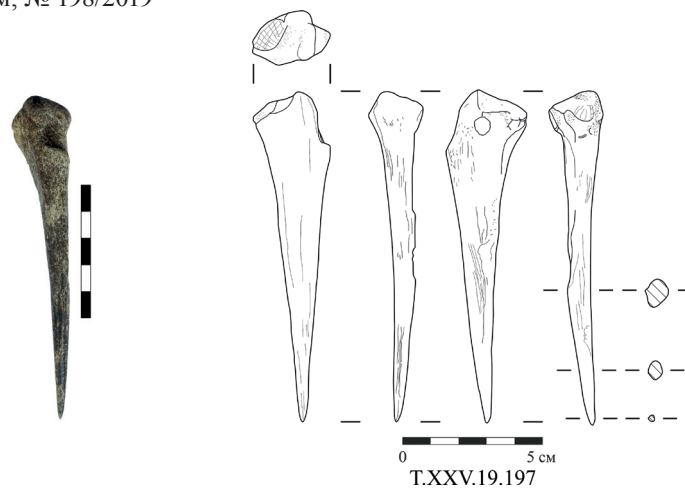


Рис. 41. Костяная проколка, № 197/2019

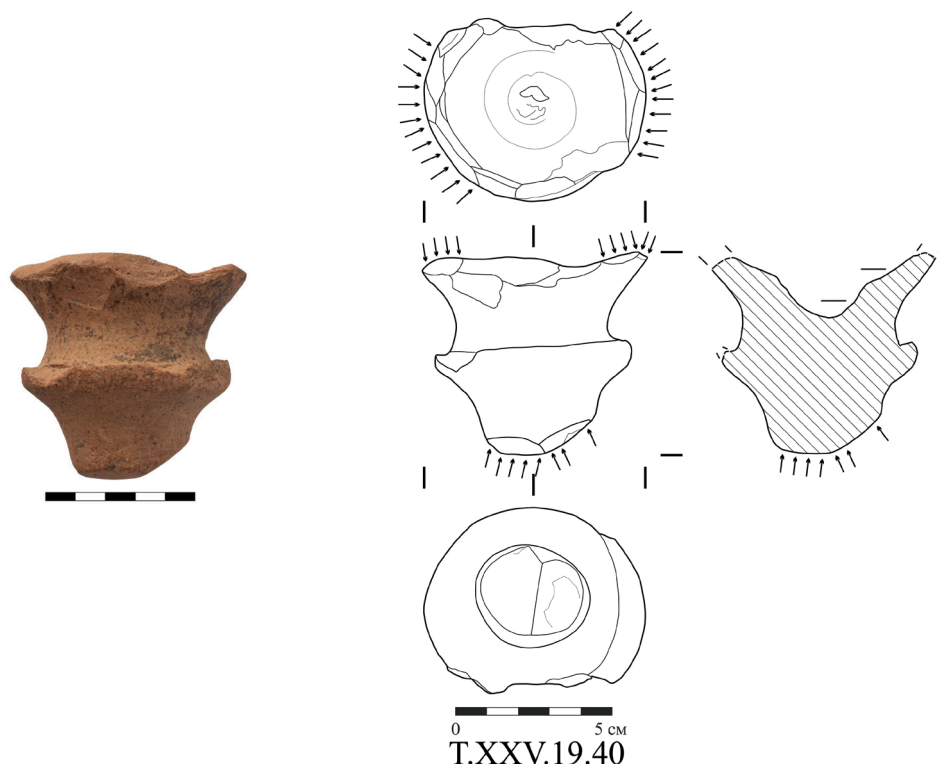


Рис. 42. Терочник из ножки книдской амфоры, № 40/2019



Рис. 43. Квадрат 29 – затекшие прослойки материковой глины в центральной части оборонительного рва



Рис. 44. Фрагмент ручки родосской амфоры с клеймом, № 264/2019



Рис. 45. Фрагмент ручки родосской амфоры с клеймом, № 266/2019

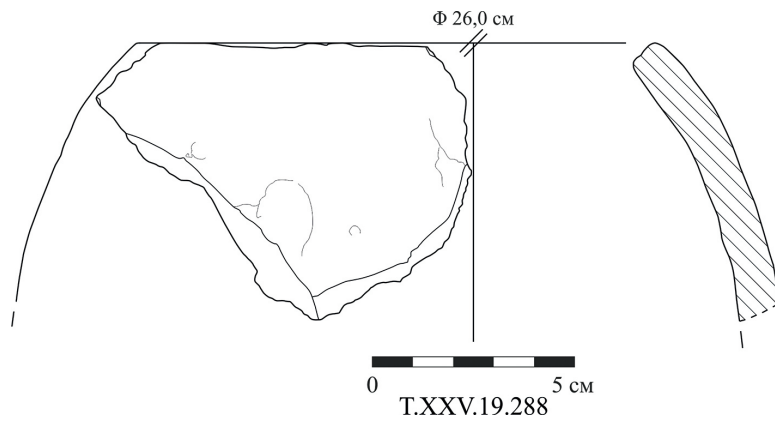


Рис. 46. Фрагмент венчика лепного сосуда, № 288/2019

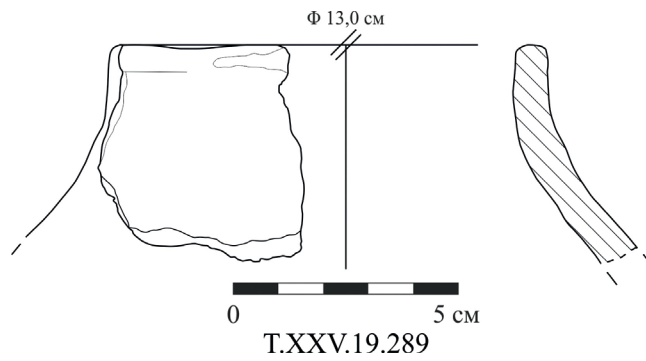


Рис. 47. Фрагмент венчика лепного горшка, № 289/2019

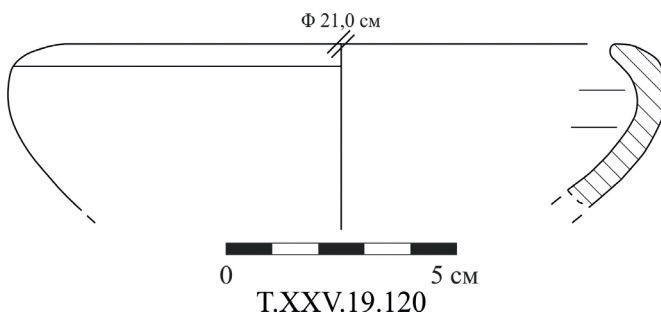


Рис. 48. Фрагмент венчика чернолаковой миски, № 120/2019

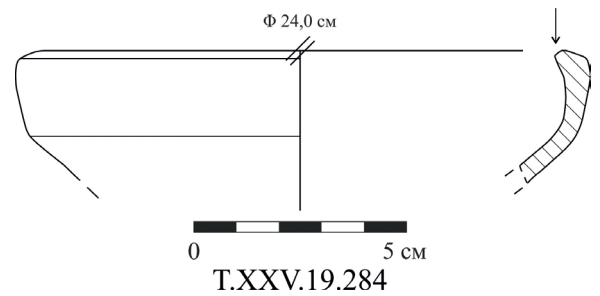


Рис. 49. Фрагмент венчика чернолаковой миски, № 284/2019



Рис. 50. Перекоп в квадратах 24 и 28 - перемещенный фрагмент скалы. Вид с запада

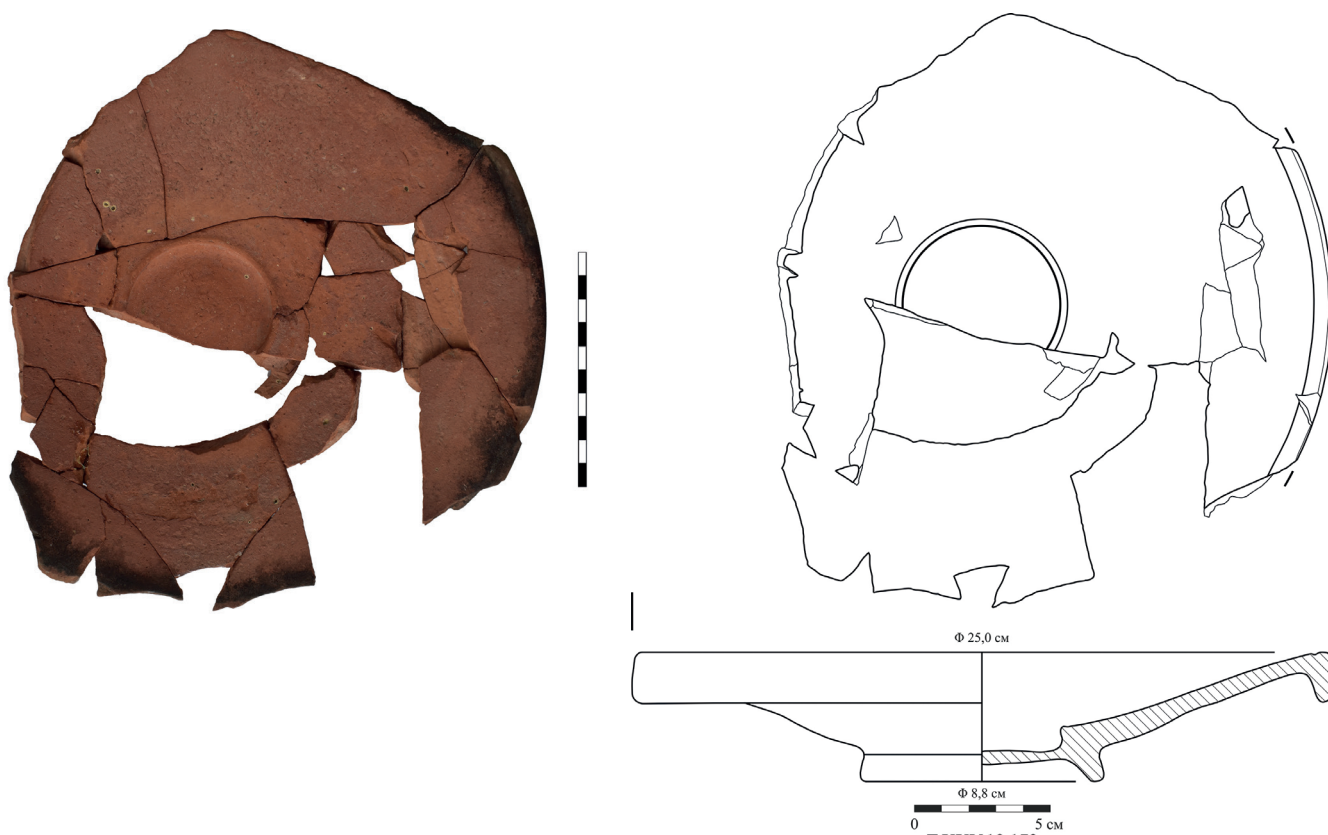
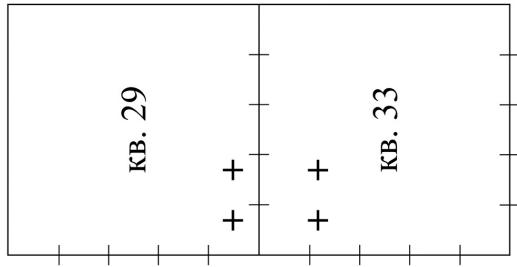


Рис. 51. Рыбное блюдо, № 173/2019



Рис. 52. Человеческие останки в квадратах 29 и 33. Вид с юго-запада



План-схема расположения погребения 2/2018 в квадратах 29 и 33

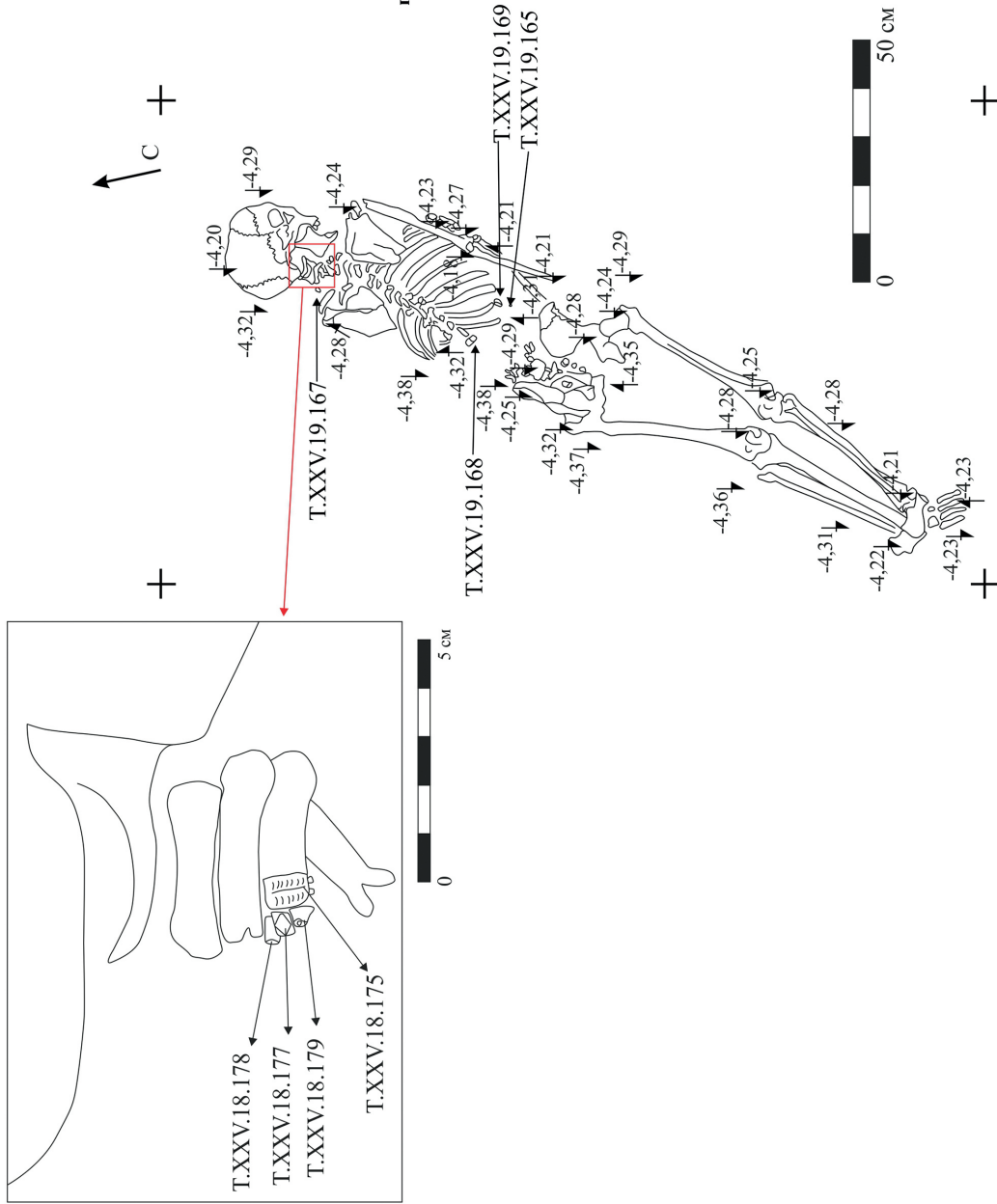
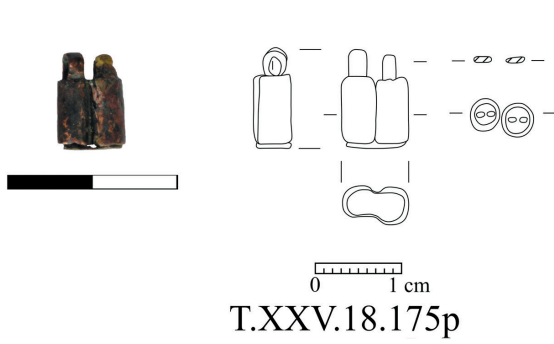
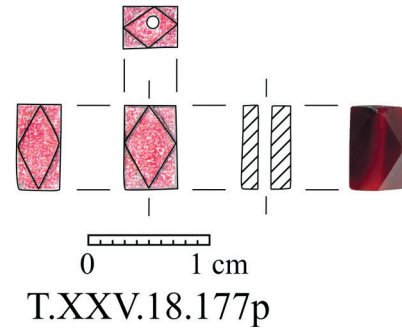


Рис. 53. Человеческие останки в квадратах 29 и 33. План



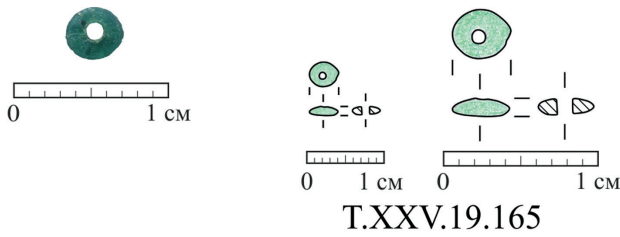
Т.XXV.18.175р

Рис. 54. Бронзовая подвеска, № 175/2018



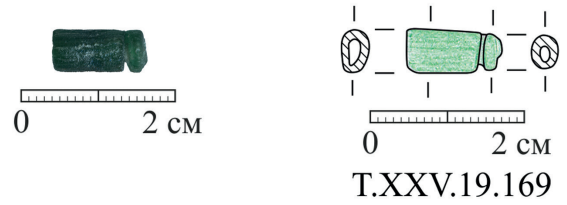
Т.XXV.18.177р

Рис. 55. Бусина сердоликовая четырнадцатигранная, № 177/2018



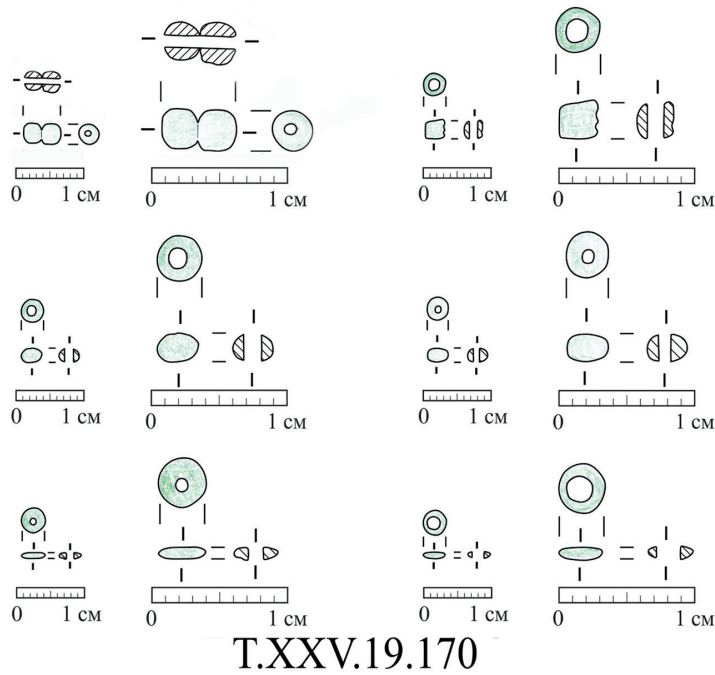
Т.XXV.19.165

Рис. 56. Бусина, № 165/2019



Т.XXV.19.169

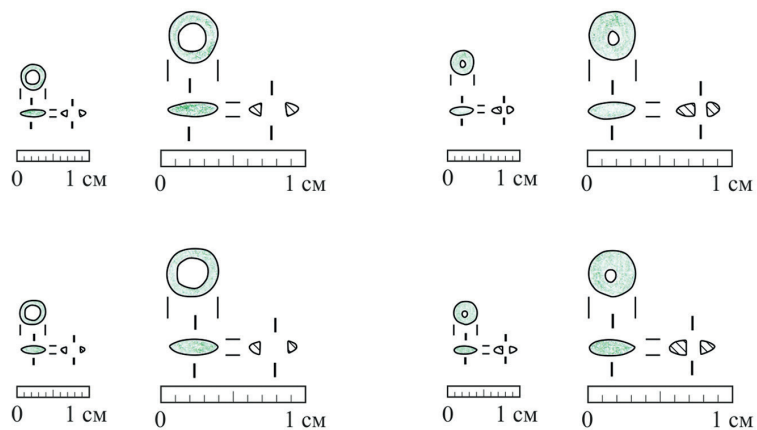
Рис. 57. Бусина, № 169/2019



Т.XXV.19.170



Рис. 58. Низка бус, № 170/2019



T.XXV.19.171



Рис. 59. Низка бус, № 171/2019



Рис. 60. Архитектурный комплекс помещений С, С1 и С2 с двумя уровнями полов.
Вид с севера. Фото 2017 г

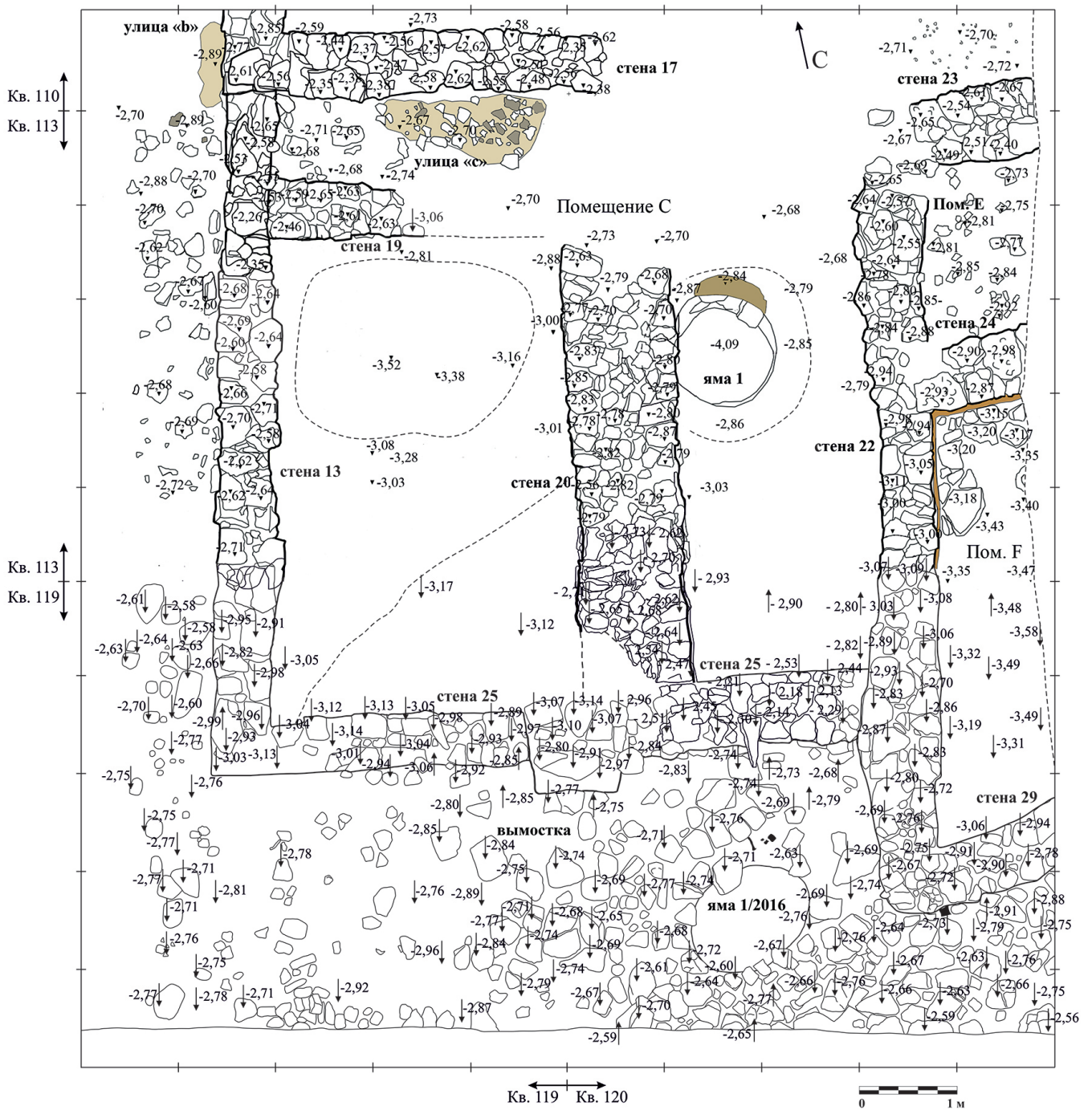
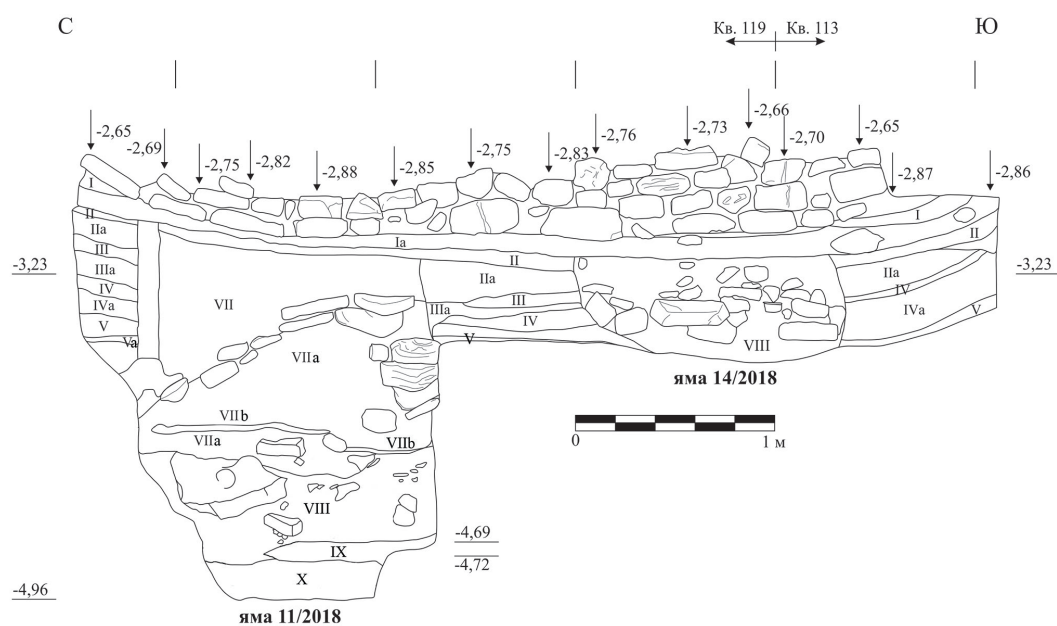


Рис. 61. План расположения архитектурных объектов в квадратах 113–114 и 119–120.
Уровень пятой фазы вымостки и первой фазы пола в помещении С



Рис. 62. Архитектурные объекты в квадратах 112–114 и 119–120. Уровень пятой фазы вымостки и первой фазы в помещении С. Вид с воздуха



- I** - глинобитный пол помещения С1, плотная глина от светло-желтого до красно-коричневатого цвета с прослойками светло- и темно-серой золы
- Ia** - неоднородный слой субструкции серо-коричневатого цвета с керамикой, костями животных и большим количеством золы от светлого почти белого до темно-серого почти черного цвета
- II** - первая фаза пола помещения С, слой неоднородной, коричнево-оранжевой глины с золистыми прослойками
- IIa** - неоднородная, золистая, довольно рыхлая субструкция с глинистыми включениями, древесными углями и большим числом археологического материала в виде керамики и костей животных
- III** - вторая фаза пола помещения С, довольно плотный, неоднородный слой коричнево-оранжевой глины с темно-серыми золистыми прослойками
- IIIa** - неоднородная, довольно рыхлая, глинисто-золистая субструкция серо-коричневого цвета с древесными углями, керамикой и костями животных
- IV** - третья фаза пола помещения С, плотный, довольно однородный слой коричнево-оранжевой глины
- IVa** - неоднородный, рыхлый, золистый, темно-серый слой субструкции с древесными углями, керамикой и костями животных
- V** - четвертая фаза пола помещения С, плотный, довольно однородный слой коричнево-оранжевой глины
- Va** - неоднородный, рыхлый, золистый слой темно-серого почти черного цвета с древесными углями, прослойками желтой глины, керамикой и костями животных
- VII** и **VIIa** - неоднородный, рыхлый, глинисто-золистый слой коричнево-серого цвета с камнями, прослойками темно-серой почти черной золы, керамикой, костями животных и рыб
- VIIb** - темно-серая почти черная, золистая прослойка
- VIII** - неоднородный, рыхлый, слой серо-коричневого цвета с большим количеством камней, глинистыми и золистыми прослойками и включениями известняка
- IX** - неоднородный, плотный, глинистый слой оранжево-коричневого цвета
- X** - золистый, рыхлый, темно-серый почти черный слой с большим числом костей животных и рыб а также рыбьей чешуи

Рис. 63. Стратиграфия полов в помещении С. Западный профиль под стеной 20



Рис. 64. Стена 20 в квадратах 113–114 и 119–120. Западный фас и стратиграфия в помещении С



Рис. 65. Вторая фаза пола в западной части помещения С. Вид с юга

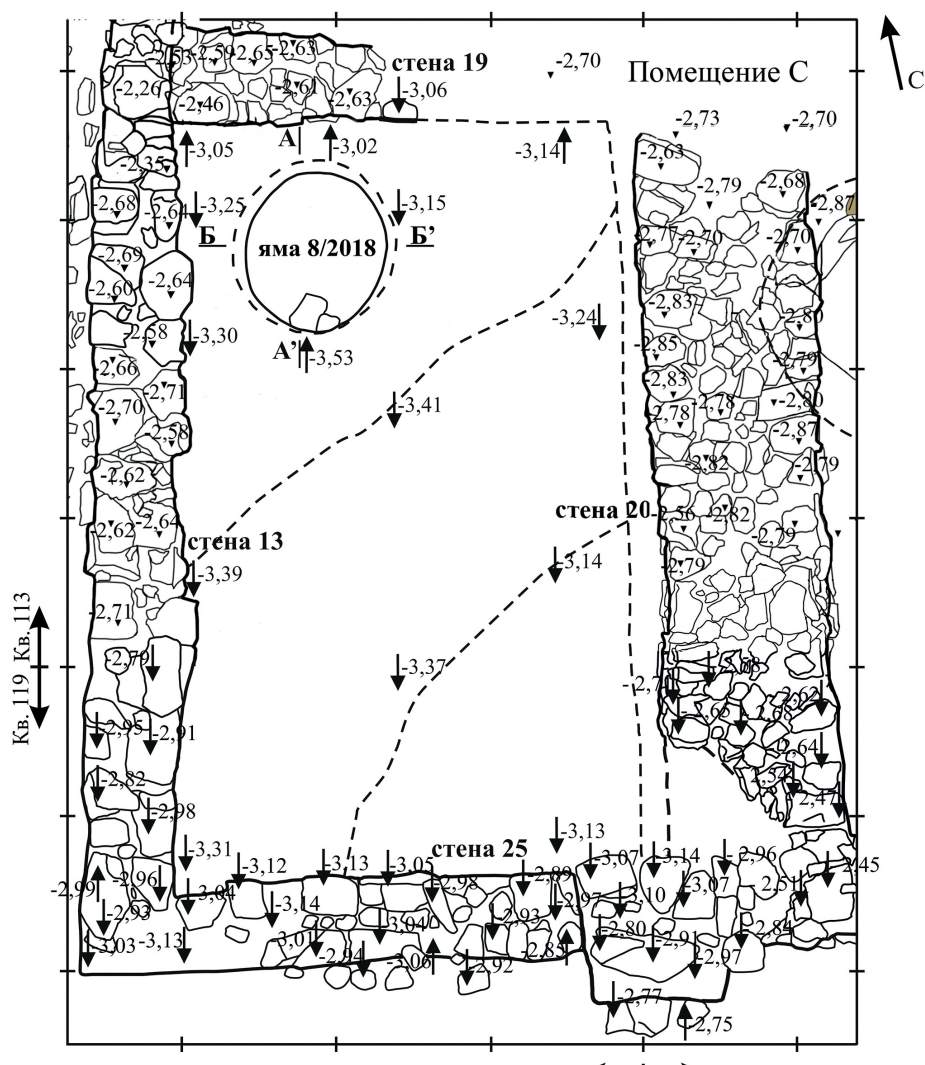


Рис. 66. Вторая фаза пола в западной части помещения С. План



Рис. 67. Третья фаза пола в западной части помещения С. Вид с юга

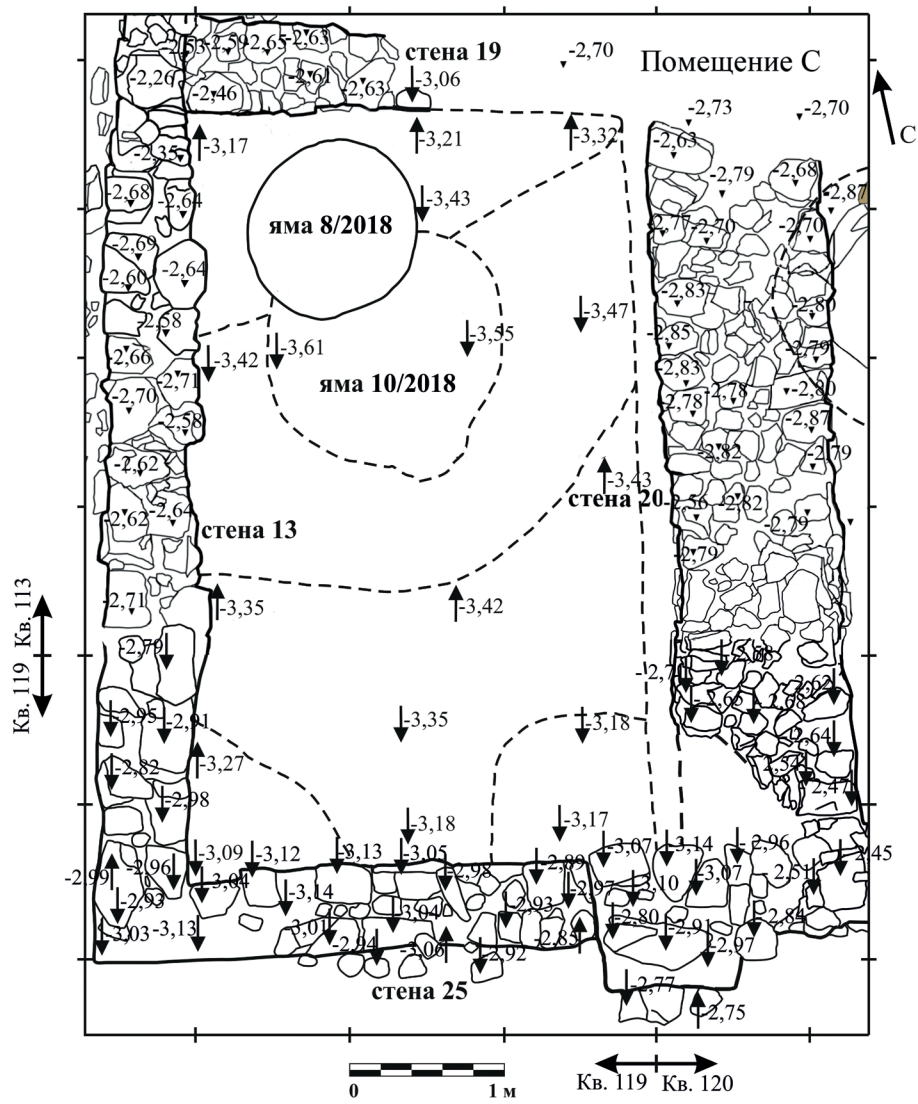


Рис. 68. Третья фаза пола в западной части помещения С. План



Рис. 69. Четвертая фаза пола в западной части помещения С. Вид с юга

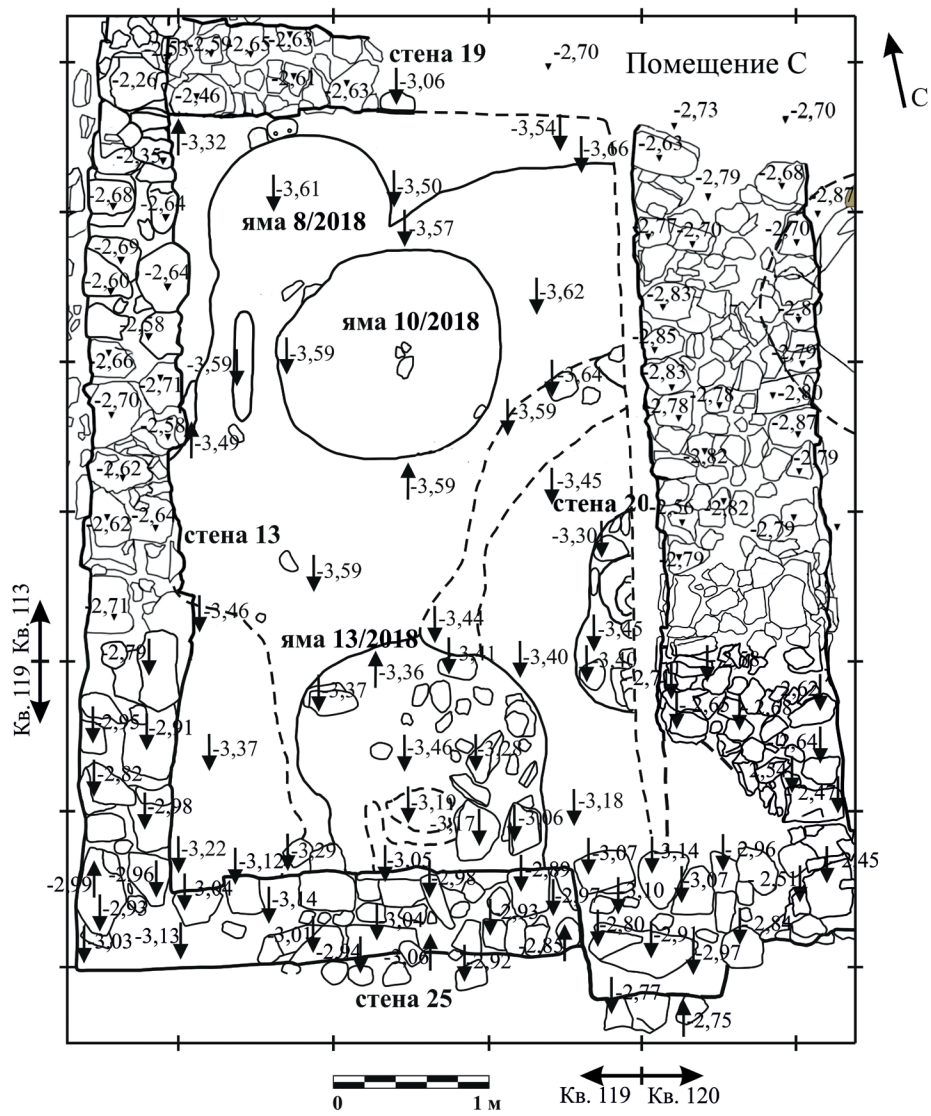


Рис. 70. Четвертая фаза пола в западной части помещения С. План

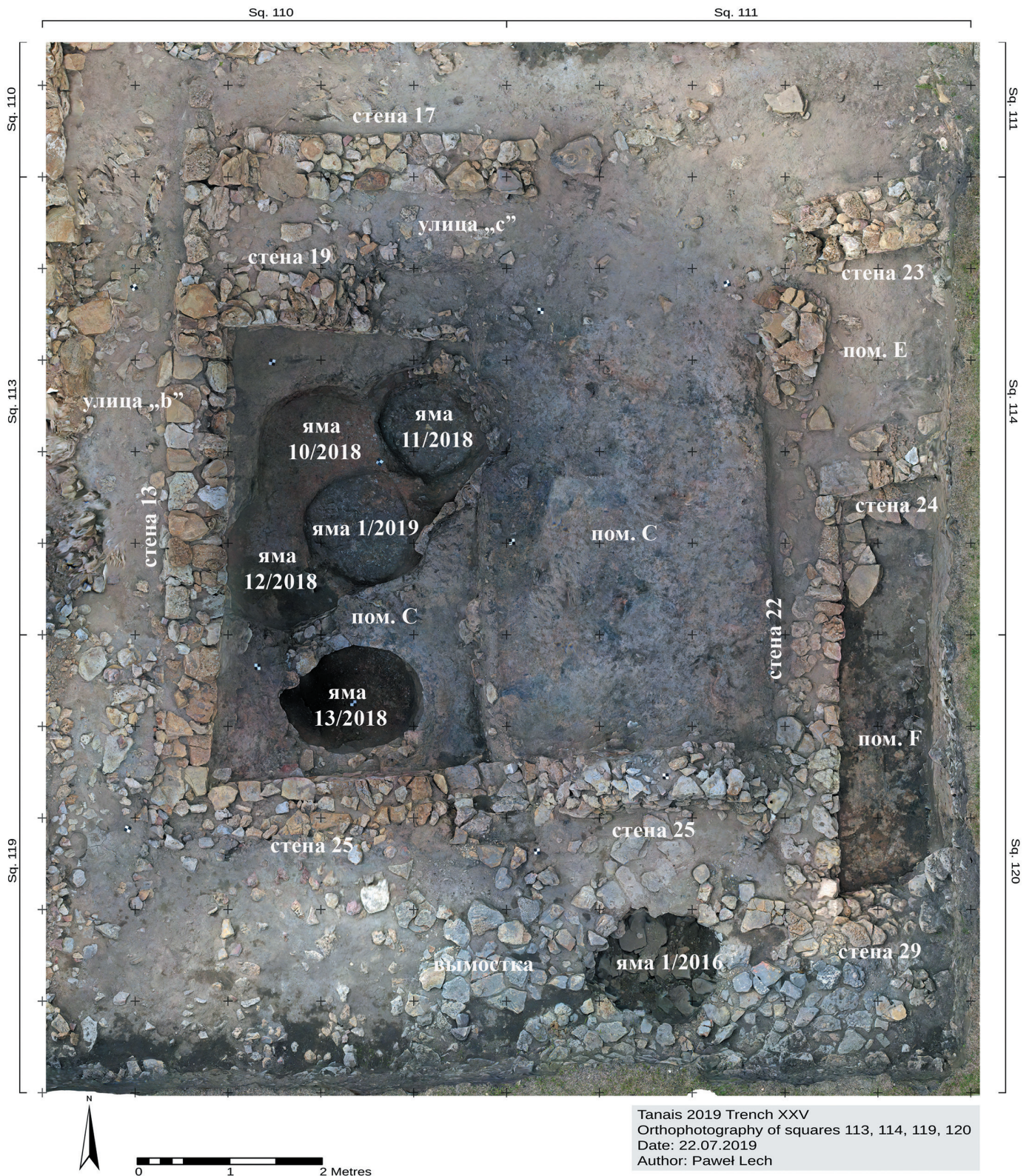


Рис. 71. Архитектурный комплекс помещений С и F.
 Пятая фаза вымостки в квадратах 119–120 и пятая фаза пола в помещении С с комплексом
 ям исследованных в сезонах 2018–2019 гг. Ортофотография

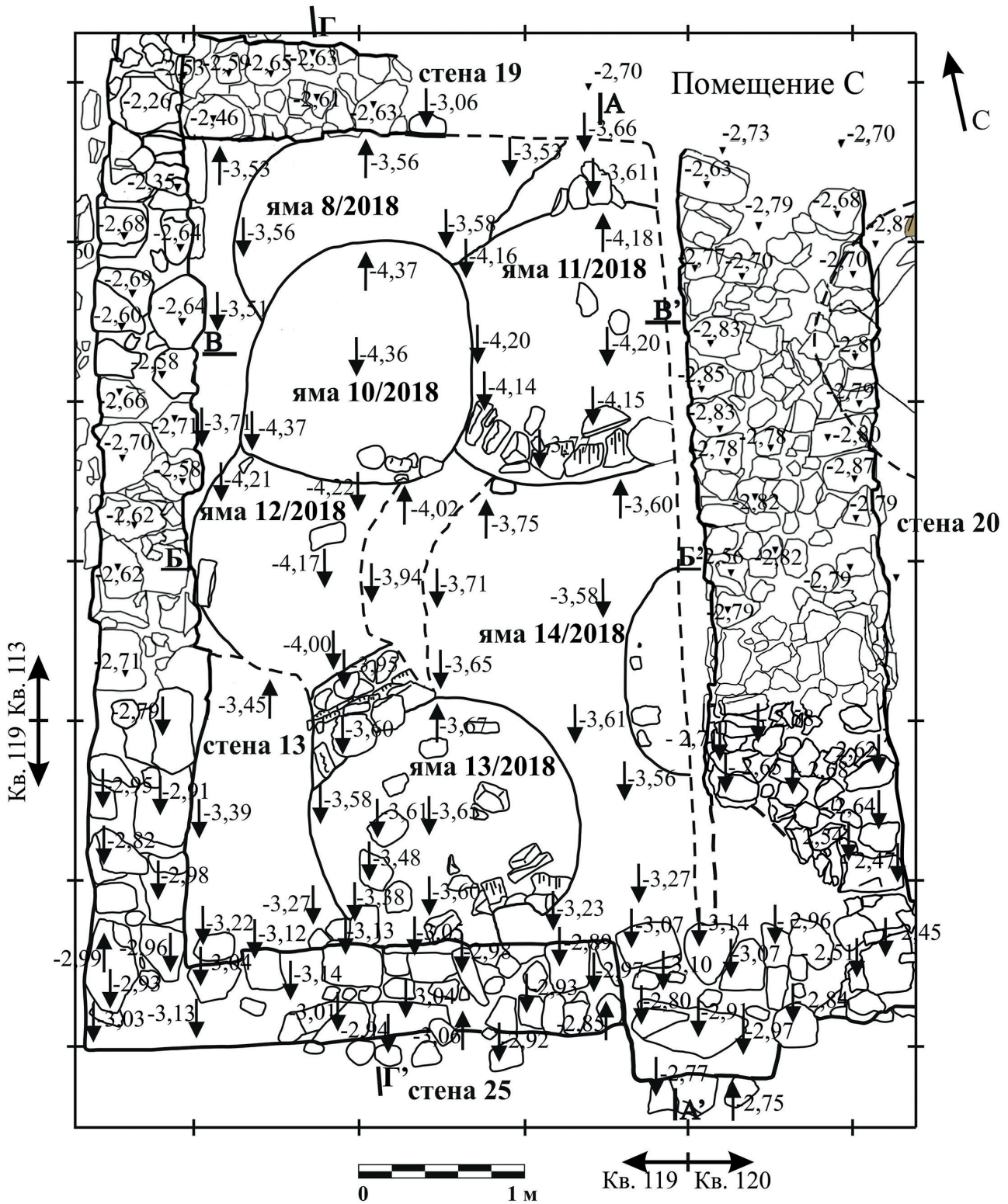


Рис. 72. Помещение С в квадратах 113–114 и 119–120 с пятой фазой полов в его западной части и комплексом хозяйственных ям исследованных в сезонах 2018–2019 гг. План

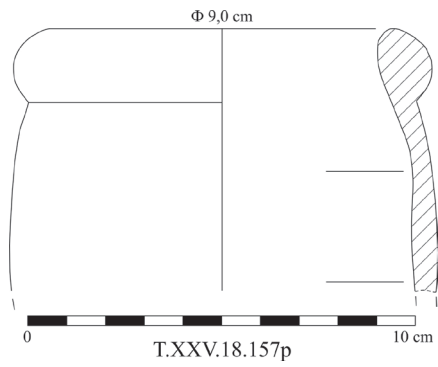


Рис. 73. Фрагмент венчика псевдокосской амфоры, № 157/2018

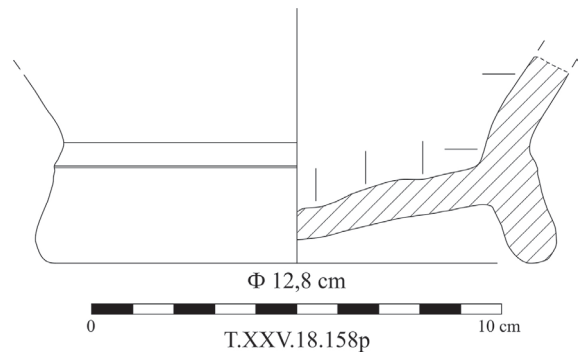


Рис. 74. Фрагмент ножки амфоры типа А, № 158/2018

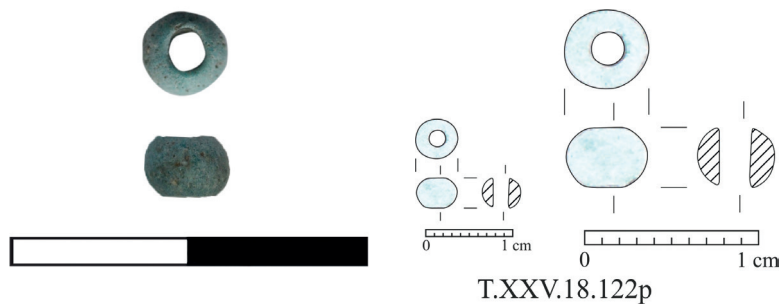


Рис. 75. Бусина, № 122/2018

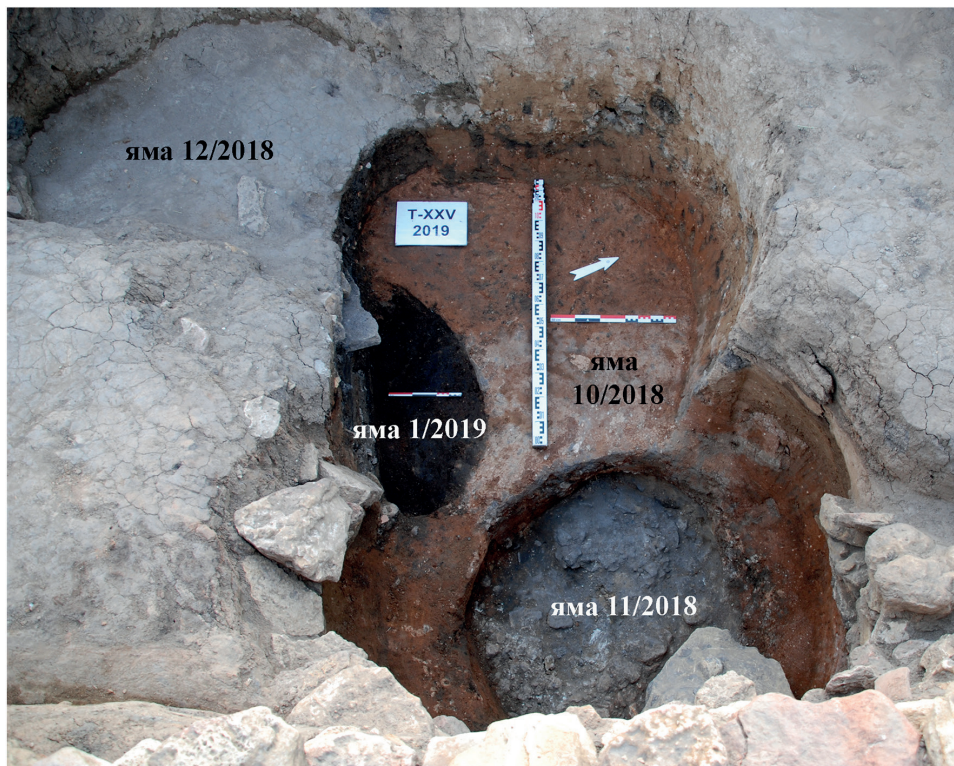


Рис. 76. Яма 10/2018, 11/2018, 12/2018 и 1/2019 в западной части помещения С. Вид с востока

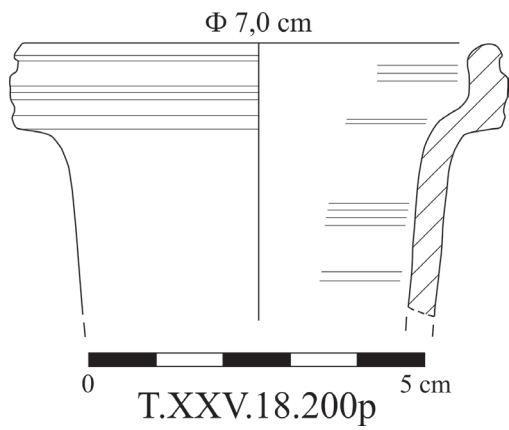


Рис. 77. Фрагмент венчика краснолакового сосуда, № 200/2018

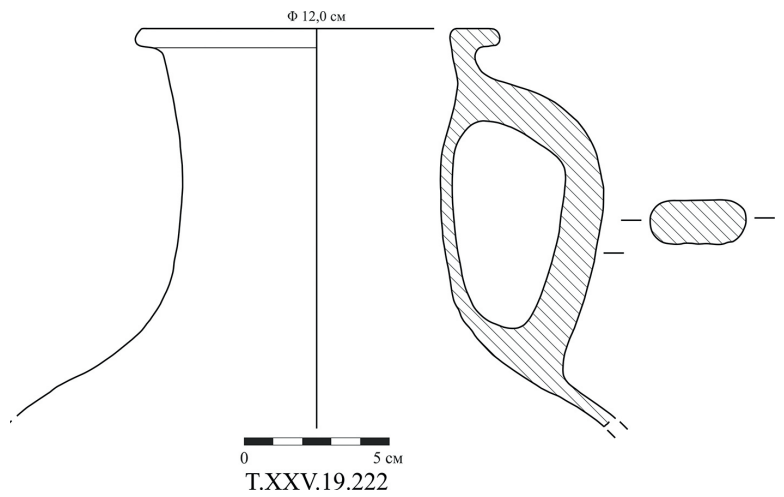


Рис. 78. Фрагмент верхней части сероглиняного кувшина, № 222/2019

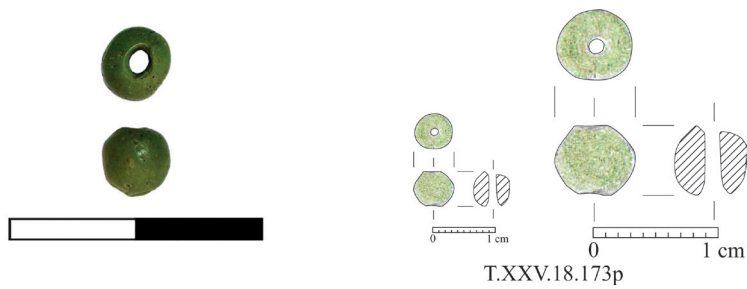


Рис. 79. Бусина, № 173/2018

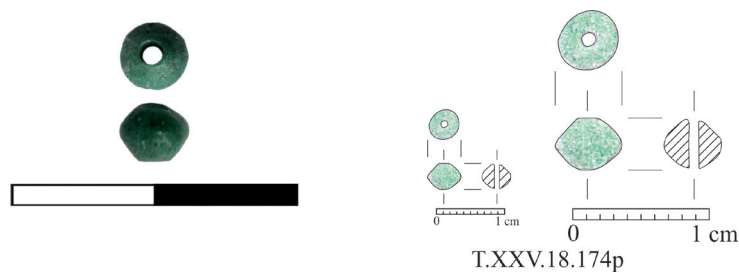


Рис. 80. Бусина, № 174/2018



Рис. 81. Яма 11/2018 и стратиграфия ее заполнения.
Вид с запада

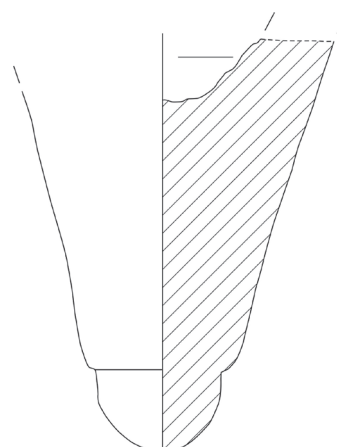


Рис. 82. Фрагмент ножки амфоры типа Внуков С I, № 213/2018

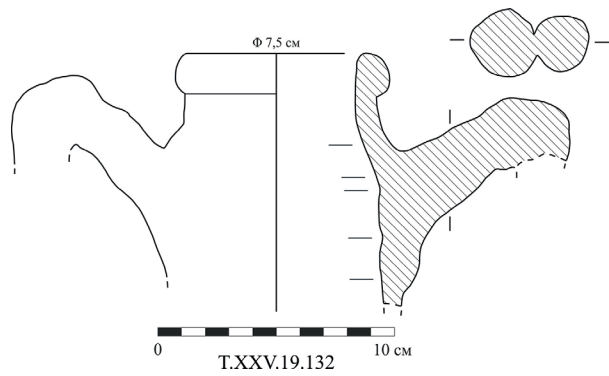
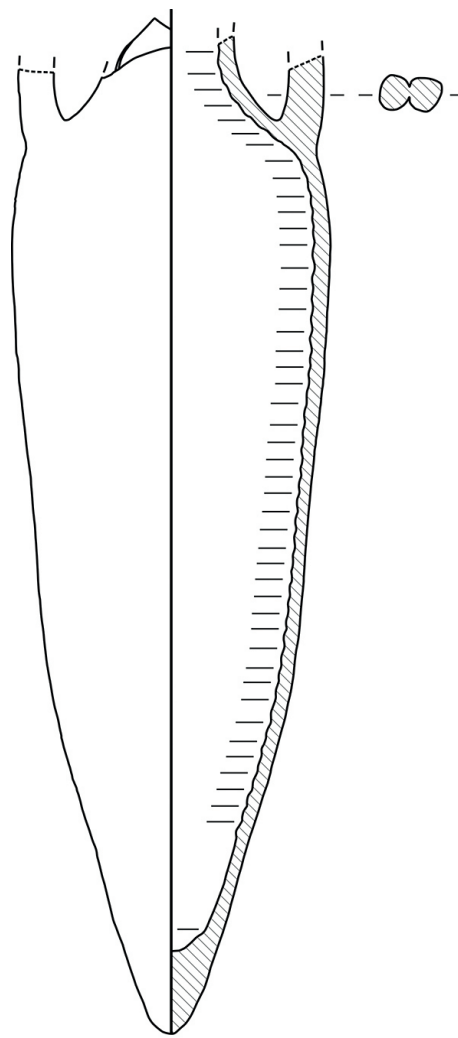


Рис. 83. Фрагмент венчика и горла с ручками амфоры типа Внуков С I, № 132/2019



Т.ХХV.19.129

Рис. 84. Нижняя часть псевдокосской амфоры, № 129/2019

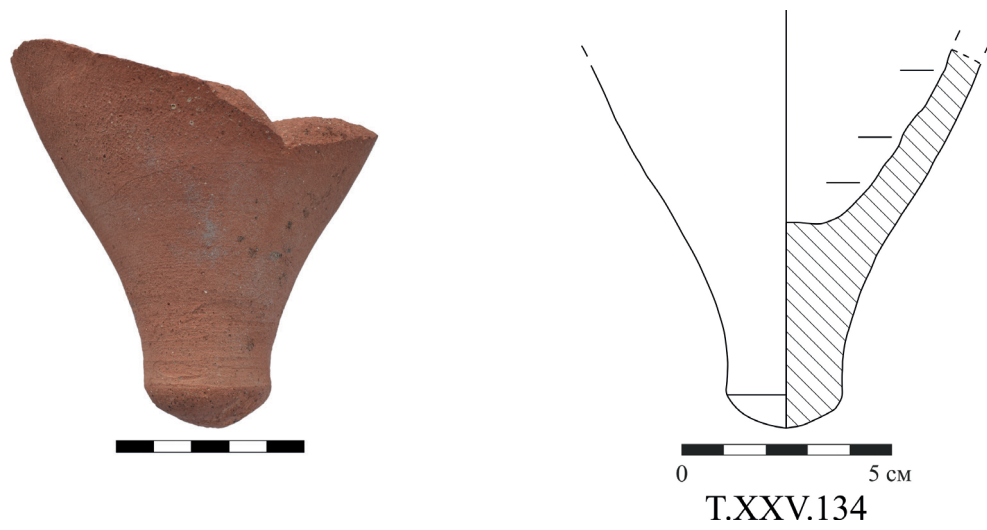


Рис. 85. Фрагмент ножки колхидской амфоры, № 134/2019

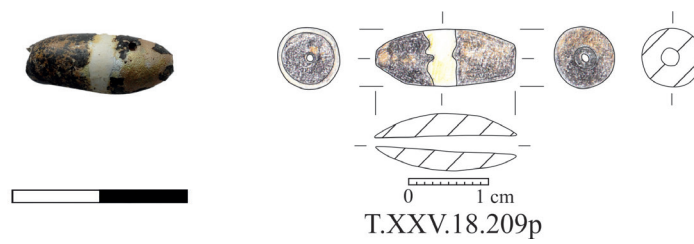


Рис. 86. Бусина, № 209/2018

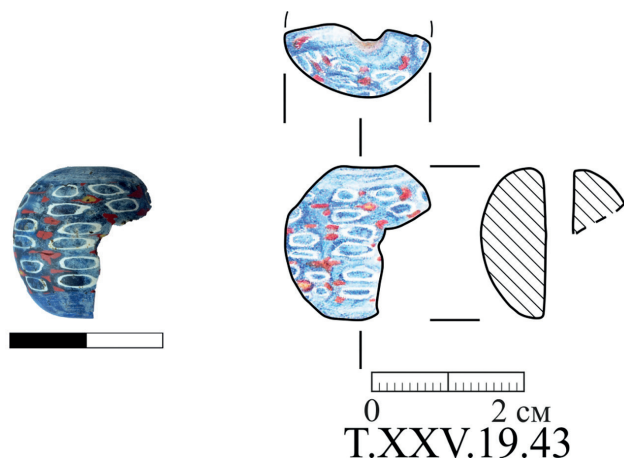


Рис. 87. Фрагмент бусины, № 43/2019

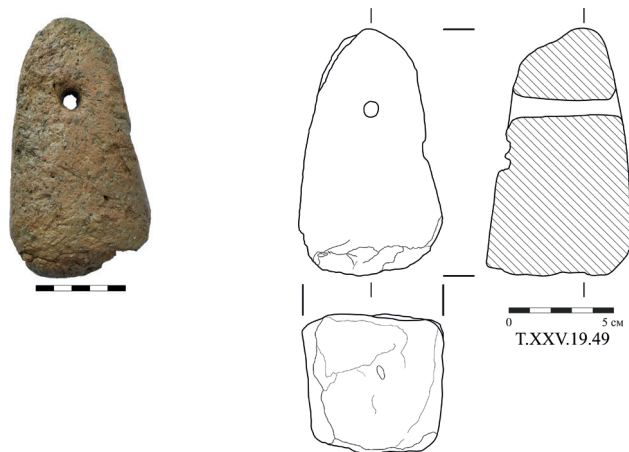


Рис. 88. Глиняное грузило, № 49/2019

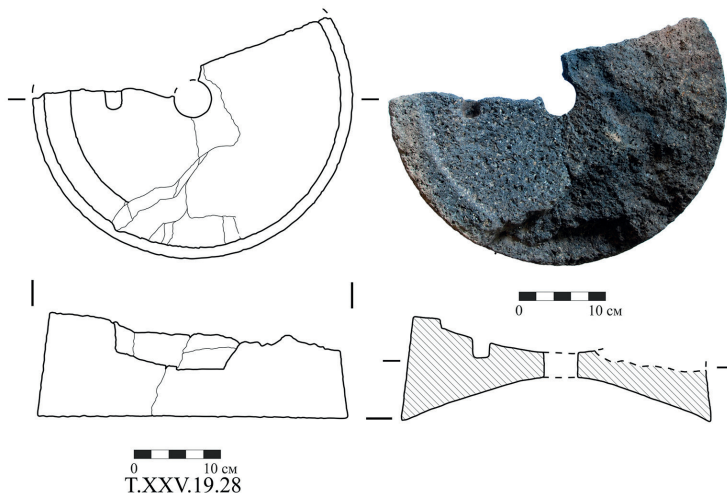


Рис. 89. Фрагмент верхней части каменного жернова, № 28/2019

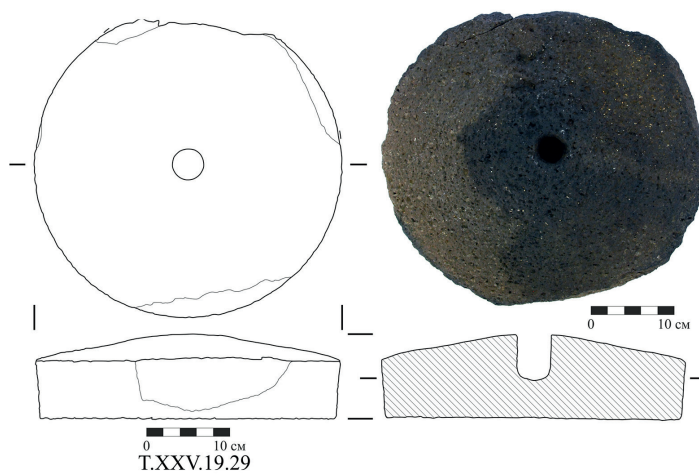


Рис. 90. Фрагмент нижней части каменного жернова, № 29/2019



Рис. 91. Яма 12/2018 прорезана ямой 10/2018 и прорезавшая яму 1/2019. Вид с северо-востока

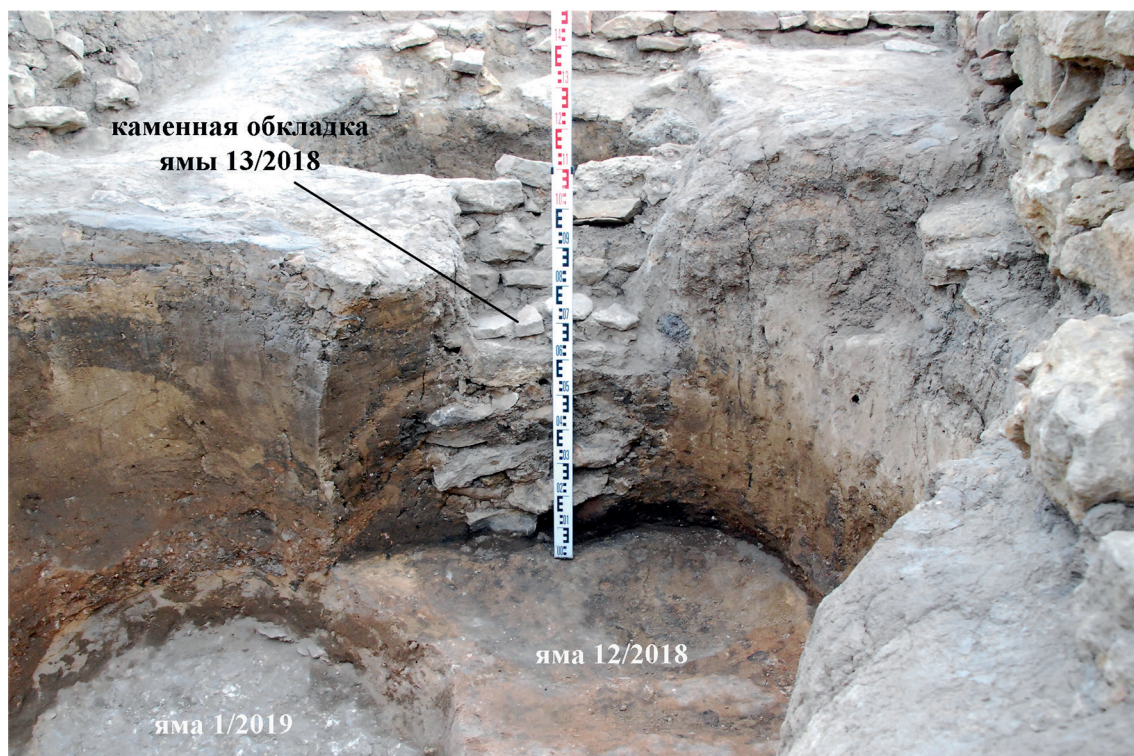


Рис. 92. Яма 12/2018 прорезана ямой 13/2018. Вид с севера

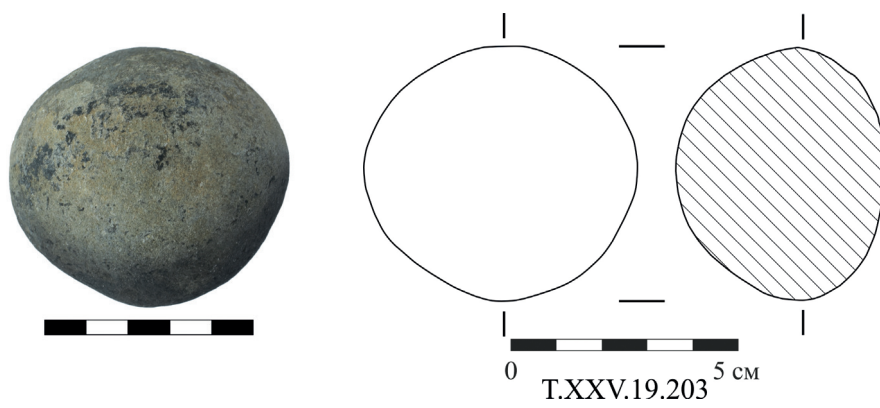


Рис. 93. Каменное ядро, № 203/2019

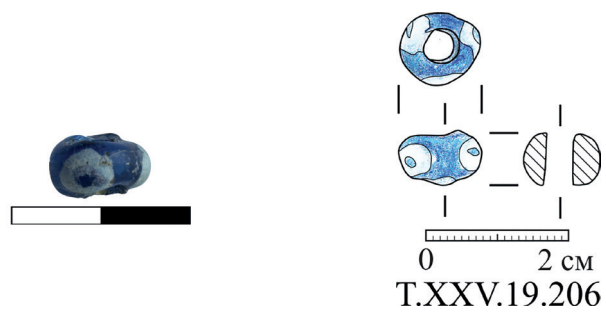


Рис. 94. Бусина, № 206/2019

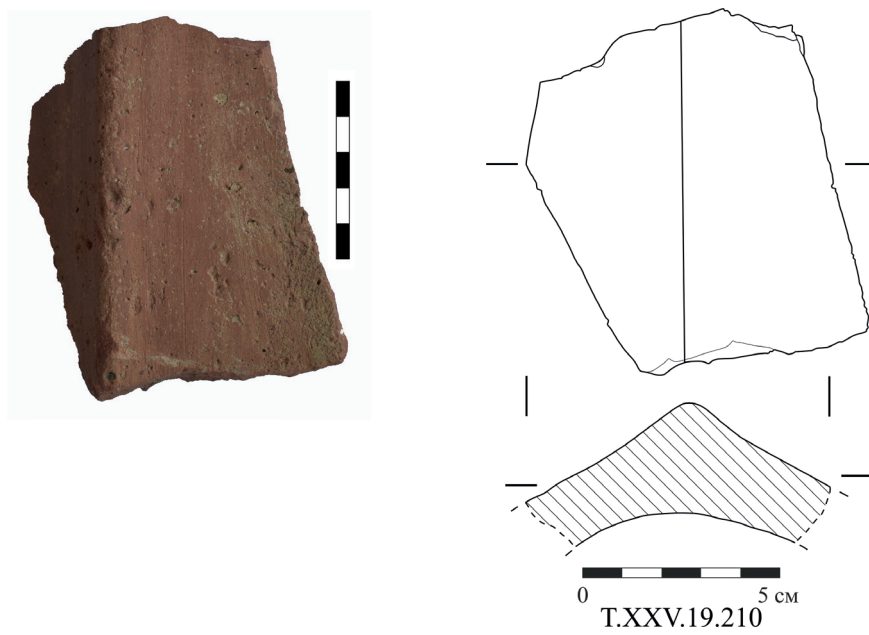


Рис. 95. Фрагмент боспорского калиптера, № 210/2019



Рис. 96. Каменная стенка разделяющая ямы 13/2018 и 12/2018.
Вид с востока со стороны ямы 13/2018

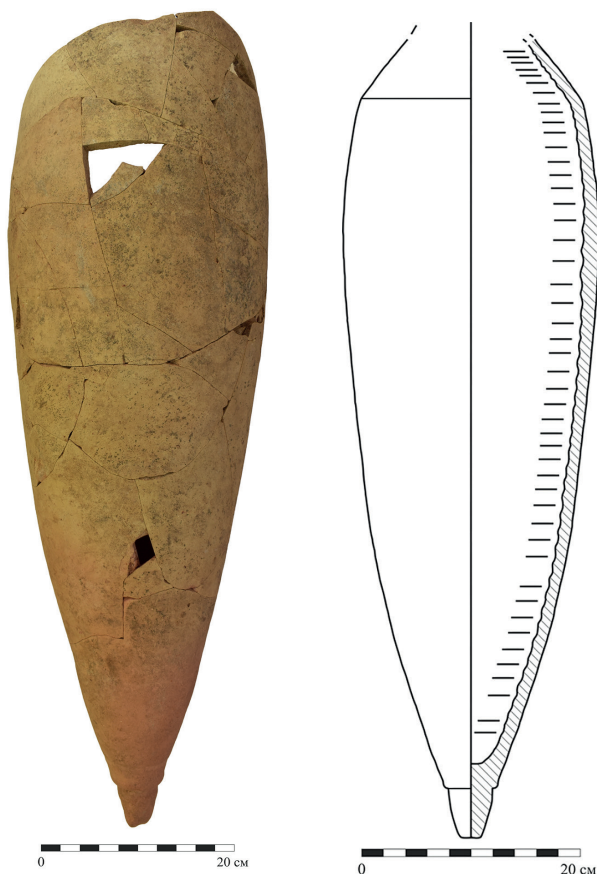


Рис. 97. Нижняя часть псевдокосской амфоры
типа Внуков С I, № 296/2019.

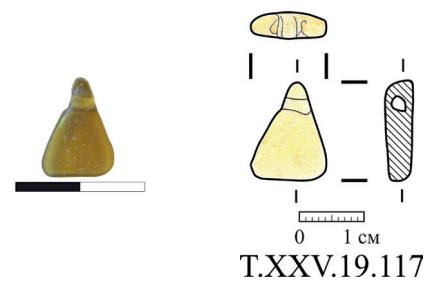


Рис. 98. Бусина, № 117/2019

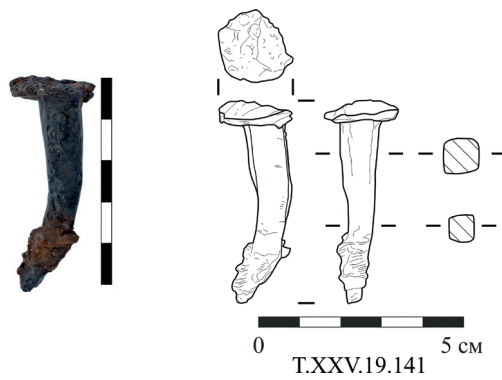


Рис. 99. Фрагмент железного гвоздя, № 141/2019

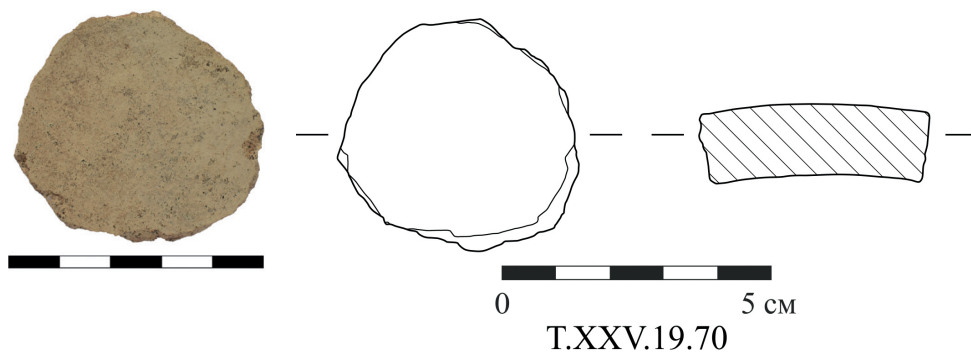


Рис. 100. Керамическая пробка, № 70/2019



Рис. 101. Пятая фаза вымостки в квадратах 119–120.
Вид с юга

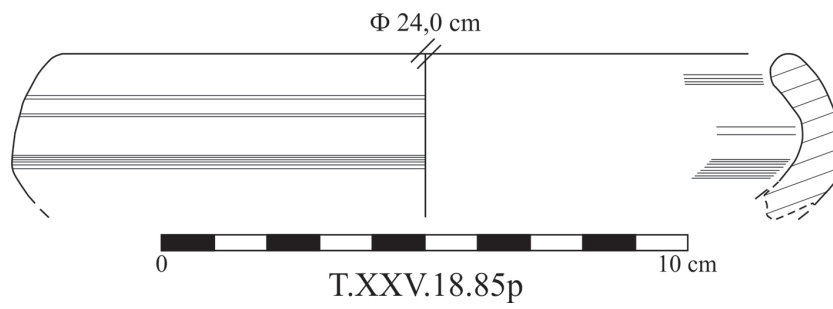


Рис. 102. Фрагмент венчика краснолаковой тарелки, № 85/2018

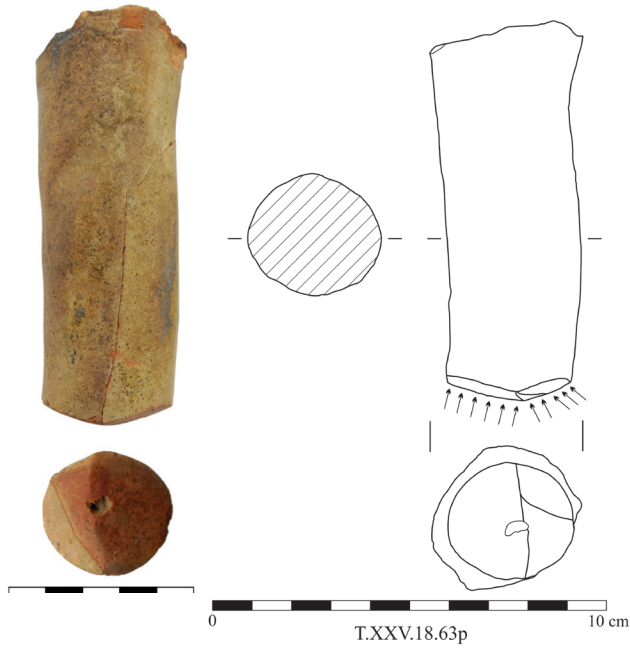


Рис. 103. Терочник из фрагмента ручки родосской амфоры, № 63/2018



Рис. 104. Фрагмент заготовки для рыбацкого грузила, № 49/2018



Рис. 105. Четвертая фаза вымостки в квадратах 119–120. Вид с юга

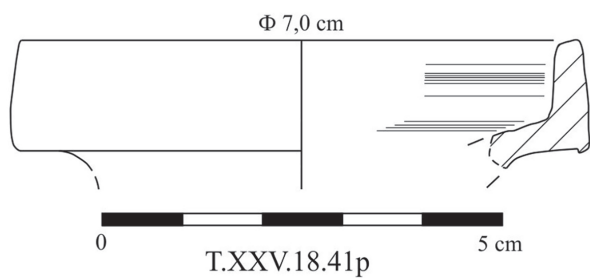


Рис. 106. Фрагмент венчика краснолаковой чаши, № 41/2018

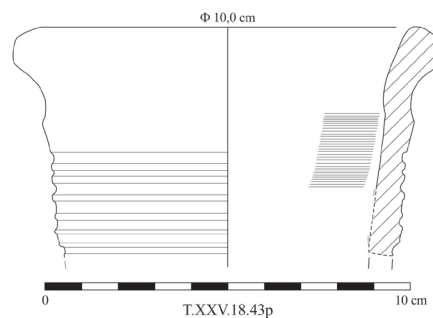


Рис. 107. Фрагмент венчика серолощеного сосуда, № 43/2018



Рис. 108. Фрагмент венчика лепного горшка, № 45/2018

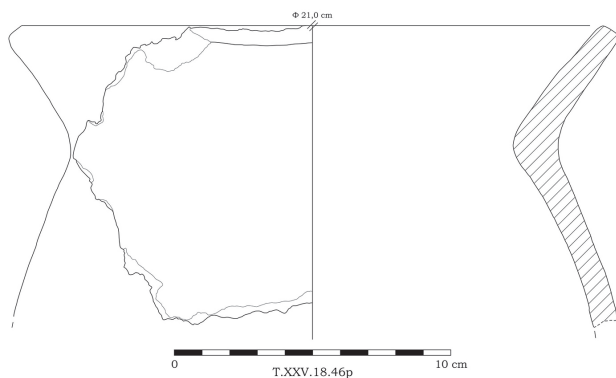


Рис. 109. Фрагмент венчика лепного горшка, № 46/2018

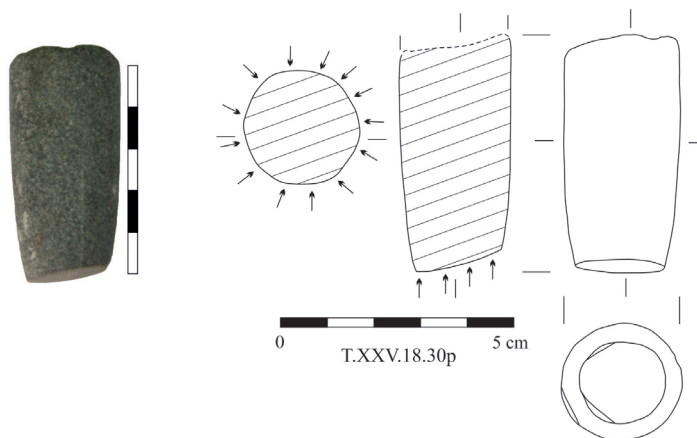


Рис. 110. Фрагмент оселка, № 30/2018